

СИНЕРГЕТИКА ВСЕЛЕННОЙ КАК ПРИРОДНОГО СОВЕРШЕННОГО  
САМОПОДДЕРЖИВАЮЩЕГОСЯ МЕХАНИЗМА.  
ПЕРВОЕ ПРИБЛИЖЕНИЕ

В. Н. Шихирин  
*ELASTONEERING INC, and Independent Scientist and Inventor*  
*Chicago, USA*

*«Текст писался «на одном дыхании», поэтому могут быть неточности, но не принципиальные, легко исправляемые с описанием соответствующих пояснений и дополнений в следующих генерациях автора».*

*«Материя, можно сказать, беспощадна. Она не остановится в своем движении даже тогда, когда станет вопрос о существовании форм наивысшего развития – Человечества.*

*Вселенная равно беспощадна к существованию Человечества, она сметет его с лица любой планеты.*

*Ни один мускул в лице Природы не дрогнет перед этим уничтожением. Человечество и Космос суть антогонисты.*

*Природа и знать не хочет о чем либо, что касается Человечества. И если не станет Человечества, Природа даже не узнает об этом.*

*Гармония Природы только для нее.*

*Все эти соображения говорят о том, что само Человечество должно думать о себе, что Природа его знать не хочет и судьбы человеческие зависят только от самого Человечества.*

*Так, повидиму, думал К.Э.Циолковский, когда писал, что ракета спасет семя Человечества».*

*А.Л. Чижевский. На берегу Вселенной. Годы дружбы с Циолковским. Воспоминания. Москва, «Мысль», 1995*

### **Введение**

Почему я написал в заголовке статьи «первое приближение»? А вот почему.

В каждой моей новой статье с позиций торовых технологий и эластичной механики описываются механизмы и физический смысл известных явлений в Природе, которые раньше не имели доказательной базы, например:

- четыре типовых формы существования рабочей текучей среды в Природе, а именно: Пена<sup>4</sup>, Жгут<sup>4</sup>, VTortex, Пена<sup>VTortex</sup>,
- реальная природная классификация галактик,
- формирование жидких и твердых планет,
- колея жидких планет, «линий Мажино» твердых планет,
- функционирование галактик и торнадо,
- природные начала «числа» ПИ, золотого сечения, числа «7» и т.п.,
- формирование атмосферы планет и звезд,
- формирование озоновой дыры и т.п.

В то же время в каждой новой статье уточняются и появляются новые дополнения к уже опубликованному данным, например в этой статье к четырем типовым формам существования рабочей текучей среды добавляется 5-я форма – «поток Куэттэ-Шихирина», формирующий атмосферу любой планеты, в том числе Земли и т.п.

Более того, объясняется появление озоновой дыры в атмосфере Земли, как необратимого процесса человеческой деятельности.

Вопрос заключается только в том, чтобы протянуть время разрушения атмосферы Земли, при этом активно развивать технологии эмиграции Человечества на другую планету - ... *« ракета спасет семя Человечества...»* - .

Это естественный эволюционный процесс, занимающий какое-то время, который в конце концов приведет к окончательному варианту описания какого-то явления с позиций торových технологий и эластичной механики.

Возможно, что так шли, идут и будут идти думающие люди – это закон Природы.

Мои исследования позволяют со стороны торových технологий и эластичной механики, выйти на распознавание механизмов структуризации материи в Природе, а затем выйти на создание на этой основе источников свободной энергии, транспортных средств и т.п., исключая применение углеводородного и атомного топлива.

Я думаю, что в 2009 году я скорректирую, дополню, объединю и опубликую все эти знания в одном труде – **«Синергетика (технология) существования Вселенной»** или **«Энергия и информация структуризации – технология существования Вселенной»**.

Таким же путем шли, но не с позиций торových технологий и эластичной механики, выдающиеся практики, создавшие работающие самоподдерживающиеся природные технологии, основанные на тотальном наведении порядка, а именно: **автоматической структуризации (восстановлении) типовых природных форм текучей среды Пена<sup>4</sup>, Жгут<sup>4</sup>, VTortex, Пена<sup>VTortex</sup> и поток Куэттэ-Шихирина после их целенаправленной деструктуризации (нарушения, разбалансировки).**

Этими «**Великими**», создавшими самоподдерживающиеся системы, являются Джон Килли (John Worrell Keely) (1827-1898), Никола Тесла (Nikola Tesla) (1856-1943), Томас Морей (Thomas Henry Moray), Виктор Шаубергер (Victor Schauburger) (1885-1958), Ричард Клемм (Richard Clem), Джон Сearл (John R.R. Searl), Вильгельм Райх (Wilhelm Reich) (1897-1957), Брюс де Пальма (Bruce de Palme), Виктор Гребенников (Viktor Grebennikov) (1928-2001) и другие.

Необходимо отметить и выдающихся ученых-практиков-теоретиков и мыслителей, понявших и описавших эти неизвестные природные технологии и феномены в различных разделах Природы, в том числе глобальные, и пути выходов Человечества из естественно запрограммированных Природой катастроф.

Это – Константин Циолковский (Konstantin Zhiolkovskiy) (1857-1935), Александр Милович (Alexander Milovich) (1874-1958), Владимир Вернадский (Vladimir Vernadskiy) (1863-1945), Александр Чижевский (Alexander Chizhevsky) (1897 –1964), Анатолий Барбараш (Anatoliy Barbarash) (1929-2007), Анатолий Акимов (Anatoliy

Акимов) (1938-2007), Рувим Кожевников (Ruvim Kozhevnikov) (1924-2007), Владимир Смирнов (Vladimir Smirnov) (1884-1960), Николай Коровяков (Nikolay Korovyakov) (1937-2004), Вячеслав Касаткин (Vyacheslav Kasatkin) и другие.

*Как-то в начале 2008 года один из известных в Море профессоров именитого института «за моей спиной» сказал: «чего это он называет своим именем природные процессы и явления, которые он, пускай даже и открыл?»*

*Имена к открывшим персонами этих явлений и процессов присваиваются в будущем!».*

*На это есть простой ответ, который мне сказал тоже один из известных в Море профессоров другого именитого института, а именно:*

*- «многие открытия «аккуратно, изящно и тонко» присваиваются (крадутся) другими персонами или просто «забываются»,*

*Более того, возникнет ли вообще это событие в будущем, а именно: процедура присвоения моего имени моим открытиям и т.п?*

*Поэтому, я заранее беспокоюсь за этот, неконтролируемый мною произвол в будущем, и хоть таким способом защищаю свой приоритет, оставляя эти «отпечатки» в сборниках конференций с многократным дублированием в интернете.*

## **Энергии и информации структуризации и взаимодействия**

### **Энергии и информации структуризации**

С позиций торových технологий и эластичной механики [1-5] понимание процессов структуризации типовых форм существования текучей рабочей среды в Природе на примере смерча [6], и преобразования их в аморфное и твердое состояние (сглаживание углов, выравнивание граней, стремление к оптимальной форме и т.п.) происходило, происходит и будет происходить вечно с помощью **энергии и информации структуризации (Structurization Energy&Information or InfEnergy)  $\{E \leftrightarrow I\}_s$**  [7,8], которая является основной движущей силой в Природе.

### **Что такое «свободная» энергия и информация?**

В истории нашей цивилизации понятие «свободная энергия» трактовалось как самостоятельное целое и не учитывало «информационную» составляющую, то есть «свободную информацию», которая вместе со «свободной энергией» составляет единое целое, а именно: **свободную энергию и информацию или свободную информацию и энергию, существующую во Времени.**

**Свободная энергия и информация – это неисчерпаемая бесконечная природная материообразующая совершенная энергия и информация, которую можно добывать в любых условиях на Земле и в Космосе, имея лишь активаторы (аккумуляторы) для их активации и последующего использования.**

*Этой всесущей и всепронизывающей энергией и информацией нано-, микро-, макро- и мегамиров является энергия и информация структуризации (энергия и информация формы, энергия и информация формообразования).*

*Смысл действия энергии и информации структуризации заключается в том, что если нарушается какая-либо природная форма, например, отрывается хвост ящерицы, то эта энергия тотально наводит порядок, то есть затрачивается гигантская энергия и информация на восстановление нового хвоста.*

.... Например, на Земле торнадо, как самоподдерживающийся механизм, существует несколько дней, а на Юпитере такой же торнадо, так называемое Большое Красное Пятно, наблюдается, то есть действует самоподдерживанием, уже более 350 лет.

### **Энергии и информации взаимодействия**

Результатом тотального действия энергии и информации структуризации является появление и действие энергии и информации взаимодействия (**Interaction Energy&Information or InfEnergy**)  $\{E \leftrightarrow I\}_1$ , получившей от нее энерго-информационный импульс (толчек).

Видами тотального действия энергии и информации структуризации являются:

#### **1. Раздвижение, выталкивание, останавливание, блокирование, волочение и т.п.**

##### **Энергия:**

Например, реакцией на естественное увеличение размеров сферических пузырьков в Пене<sup>4</sup> до формирования их в додекаэдры (от мыльной пены до космической), то есть создания их плотной упаковки, является расталкивание рядом находящихся пузырьков и инородных тел и т.п.

В каждом додекаэдре формируется поле (заряд) давления с концентрацией заряда давления, максимальная величина которого находится в его геометрическом центре. При этом «не работает» (игнорируется) так называемый «закон Паскаля о равенстве давления в любой точке сжатой текучей среды». Другими словами, этого закона просто не существует в Природе.

Хорошим примером действия энергий и информации структуризации и взаимодействия является произрастание какого-либо вида растения из семени.

В этом случае развитие (рост) растения игнорирует окружающую среду - он ее просто расталкивает, даже разрушает горную породу.

**Информация:** происходит деформация тел, вплоть до их разрушения или объединения, изменяются фазовые состояния материи, координаты в пространстве, появляются новые траектории движения и виды движения и т.п.

#### **2. Втягивание, всасывание, высасывание, стягивание, диффузия и т.п. Энергия:**

Например, при формировании *Plato-Shikhirin Skeletone* любого размера Пены<sup>4</sup>, в вершины тетраэдров Плато перемещаются (левитируют) инородные тела, как в зону наиболее низкого давления, вакуума.

Так концентрируются, а затем взаимодействуют между собой все действующие галактики, каждая из которых имеет гигантский вес порядка  $4 \cdot 10^{50}$  тонн.

Более того, все звездное вещество в этих же галактиках стягивается в областях узлов соединений 3-х оснований Color Cells<sup>7</sup> (ячеек Шихирина<sup>7</sup>) [9-14] и т.п.

При этом не работает или полностью игнорируется, так называемый, закон всемирного тяготения. Другими словами, его просто не существует в Природе.

**Информация:** происходит деформация тел, вплоть до их разрушения или объединения, изменяются фазовые состояния материи, координаты в пространстве, появляются новые траектории движения и виды движения и т.п.

### **3. Кручение, переворачивание, выворачивание, наволакивание и т.п. Энергия:**

Например, смерч, наволакивается своей «головой» на поверхность земли или воды, захватывает их часть, закручивает и перемещает их «двойным» кручением к «хвосту» смерча [6] и т.п.

**Информация:** происходит деформация тел, вплоть до их разрушения или объединения, изменяются фазовые состояния материи, координаты в пространстве, появляются новые траектории движения и виды движения и т.п.

Технология действия энергий и информации структуризации и взаимодействия между собой типовых форм представляет из себя замкнутый цикл:

$$\dots \rightarrow \{E \leftrightarrow I\}_S \rightarrow \{E \leftrightarrow I\}_I \rightarrow \dots \rightarrow \{E \leftrightarrow I\}_S \rightarrow \{E \leftrightarrow I\}_I \rightarrow \dots,$$

при этом

$$\{E \leftrightarrow I\}_S \text{ эквивалентна } \{I \leftrightarrow E\}_S, \text{ а } \{E \leftrightarrow I\}_I \text{ эквивалентна } \{I \leftrightarrow E\}_I$$

Следует отметить, что нелинейное действие законов Ньютона распространяется только на планетах, где существуют условия для формирования атмосферы, как показателя действия поля гравитации (силы тяжести), центр которой – сверхвысокий вакуум - аномально менее  $10^{-5}$  ПА, находится в центре планеты, в том числе Земли.

То есть:

- чем ближе к центру Земли (впадины), тем сила тяжести больше,
- чем дальше от центра Земли, тем сила тяжести меньше (вершины гор, атмосфера),
- чем больше масса тела, тем больше кинетическая энергия при его падении и т.п.

Воспользуемся «знаменитой» формулой  $V = \sqrt{2gH}$ , где  $V$  – скорость тела, свободно падающего с высоты  $H$  (радиус Земли), в момент падения (притягивания сверхвысоким вакуумом) в центре Земли, а  $g$  – так называемое «ускорение свободного падения тела в вакууме» (?!).

**Эта формула, возможно, не верна вообще или ее необходимо корректировать.**

Но тем не менее, скорость:

$$V \approx \sqrt{(2 \cdot 10 \text{ м/сек}^2 \cdot 6356 \text{ км})} \approx \sqrt{(2 \cdot 10 \text{ м/сек}^2 \cdot 6356000 \text{ м})} \approx \sqrt{127120000 \text{ м}^2/\text{сек}^2} \approx 11274750,55 \text{ м/сек} \approx 11275 \text{ км/сек}$$

Эта скорость примерно в одну тысячу раз больше 2-й космической скорости.

Используя тоже «знаменитую» формулу  $E_k = mv^2/2$ , где  $E_k$  – кинетическая энергия, а  $m$  – масса тела, то кинетическая энергия тела массой  $m$  в момент падения (притягивания сверхвысоким вакуумом) в центре Земли, равна:

$$E_k = mv^2/2 \approx m \cdot (11275 \text{ км/сек})^2 z = m \cdot 127 \text{ км}^2 \text{ сек}^2 \text{ тонн}$$

То есть, чем больше масса тела, тем больше кинетическая энергия при его падении (притягивания сверхвысоким вакуумом).

Более того, законы Ньютона «работают» на поверхности Земли с погрешностью от 0 до  $\pm 100\%$ , и только в определенных местах (смотри далее по тексту раздел «Твердый» одинокий пузырь – додекаэдр», а именно:

- в направлении к 30 гравитационным центрам - от 0 до +100%,
- в направлении от 20 левитационных центров - от -100% до 0.

Действие энергий и информации структуризации и взаимодействия в космических масштабах может привести к глобальным катастрофам, в том числе на Земле, например, запрограммированное похолодание климата, качание и поворот ее оси [13,14].

Сведения, представленные в настоящей статье и предыдущих статьях [7-14] является, по мнению автора, прямыми и/или косвенными доказательствами существования «неизвестной» Главной энергии и информации – **энергии и информации структуризации (формообразования, образования формы), основой которой является** энерго-информационный или «генетический» код типовых форм рабочей текучей среды в Природе, который активизирует и поддерживает существование **5-ти типовых форм трехфазной (трехкомпонентной) рабочей текучей среды в Природе**, а именно:

- 1) **Пена**<sup>4</sup> – плотная упаковка **сферических** оболочек-додекаэдров или оболочек – модификаций додекаэдров\*,
- 2) **Жгут**<sup>4</sup> – плотная упаковка вытянутых и вращающихся относительно своих продольных осей **сферических** оболочек-додекаэдров или оболочек–модификаций додекаэдров\*,
- 3) **VTortex** – плотная упаковка двухвершинных семигранников (ячеек Шихирина<sup>7</sup> или Color Cells<sup>7</sup>), основаниями которых являются соты – периферия тора. Соты ориентированы по линии торического узла ( $3n_p; \{n_q + [(n_q - 1)/2]\}$ ) [9], а каждые две вершины семигранников, соединенные определенным образом, формируют струну тора.
- 4) **Пена**<sup>Vtortex</sup> - (плотная упаковка **торообразных оболочек-VTortexs**),
- 5) **Поток Куэттэ-Шихирин (Flow Coutte-Shikhirin)** – плотная упаковка выворачивающихся/наволакивающих закрытых (с полюсов) и открытых (между ними) жидкостных или/и газовых торов, центральным телом которых являются жесткие и гибкие сферообразные оболочки, заполненные веществом структурированным определенным образом, а именно: это *структурный шар* - додекаэдр или его комбинации (звезды и планеты), который формируется станом поперечно-винтовой прокатки любой действующей галактики [9].

В инженерной практике потоки Куэттэ-Шихирин формируются, например, внутри (около стенок) вращающихся цилиндрических, конических и других поверхностей вокруг своих продольных осей и т.п.

**\*Понятие «додекаэдр и его модификации».**

Обозначение многогранника ( $A\{B\}$ ), где  $A$  – количество граней,  $B$  – количество углов в многограннике ( $B$ -угольник):

- додекаэдр (Dodecahedron) -  $12\{5\}$ ,
- икосаэдр (Icosahedron) -  $20\{3\}$ ,
- $\beta$ -тетракаидекаэдр (Beta-tetraikaidcahedron) -  $4\{6\} + 8\{5\} + 2\{4\}$
- усеченный икосаэдр (Truncated Icosahedron) -  $20\{6\} + 12\{5\}$  и т.п.

В свою очередь, рабочая текучая среда является трехфазной (трехкомпонентной), а именно:

- **1-я фаза** - однослойный объемный замкнутый каркас – система каналов Плато-Шихирина (*Plato-Shikhirin Skeletone*) или *Эфир (Aether)* (Рис. 1,3), который состоит из соединенных между собой каналов, плат, тетраэдров, полых рельефных шаров, с надетыми на них полыми кольцами (для потока Куэттэ-Шихирина). Все вместе - это сверхразряженная (вырожденная) рабочая текучая среда, обволакивающая все элементы нано-, микро-, макро- и мегамиров Вселенной .

В составе 1-й фазы находятся все дислокации, ПАВы и весь «мусор», выдавленный из текучей среды в *Plato-Shikhirin Skeletone*.

Роль пресса для создания сверхразряженной текучей среды играют сферические, полиэдрические или торообразные оболочки (2-я фаза), расположенные в нишах (полостях) каркаса и заполненные рабочей текучей средой под избыточным давлением (3-я фаза).

- **2-я фаза** - тонкий мягкий/эластичный «материал» сферических, полиэдрических или торообразных оболочек (Shell), заполненных рабочей текучей средой под избыточным давлением.
- **3-я фаза** – рабочая текучая среда под избыточным давлением - наполнитель (Filler).

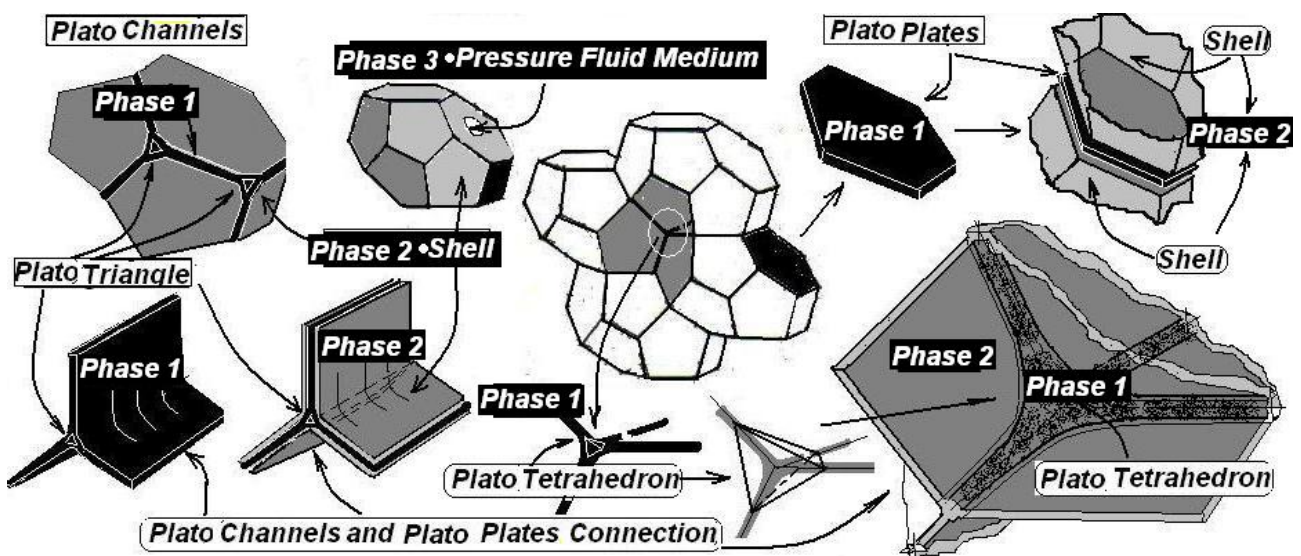


Рис. 1 Структура трехфазной (трехкомпонентной) рабочей текучей среды

Трехфазная (трехкомпонентная) рабочая текучая среда может быть двух видов:

**1-й вид** – жидкость, где

- 1-я фаза (*Plato-Shikhirin Skeletone*) является разряженной газообразной рабочей текучей средой с дислокациями и ПАВАми – система каналов Плато (*Plato-Shikhirin Skeletone*),
- 2-я фаза (Shell) является тонким мягким/эластичным «материалом» сферических, полиэдрических или торообразных оболочек или их плотной упаковки. Материал состоит из спрессованной жидкости,
- 3-я фаза (Filler) является жидкостью - рабочей текучей средой, находящейся под избыточным давлением в оболочке (фаза 2).

**2-й вид – газ, где:**

- 1-я фаза (Skeletone) является разряженной жидкообразной рабочей текучей средой с дислокациями и ПАВАми – система каналов Плато-Шихирина,
- 2-я фаза (Shell) является тонким мягким/эластичным «материалом» сферических, полиэдрических или торообразных оболочек или их плотной упаковки. Материал состоит из спрессованного газа.
- 3-я фаза (Filler) является газом - рабочей текучей средой, находящимся под избыточным давлением в оболочке (фаза 2).

Конструктивно «**трехфазная (трехкомпонентная) рабочая текучая среда**» представляет из себя 3-ю фазу (Filler) рабочей текучей среды, находящуюся под избыточным давлением в сферической, полиэдрической или торообразной оболочке, тонким мягким/эластичным материалом которых является 2-я фаза рабочей текучей среды (Shell), а 1-я фаза (*Plato-Shikhirin Skeletone*) под низким давлением (высокий вакуум) заполняет пространство между оболочками - **каналы, платы, треугольники и тетраэдры Плато.**

В таблице 1 показаны усредненные базовые параметры и физический смысл 3-х фазовой текучей среды на примере *Color Cell*<sup>1,2,3,4,5,6,7</sup> (Рис. 2)

**Усредненные базовые параметры и физический смысл 3-х фазовой текучей среды на примере *Color Cell*<sup>1,2,3,4,5,6,7</sup>**

Таблица 1

Наименование фаз	Фаза 1 – «Plato-Shikhirin Skeletone» - Эфир (Aether)	Фаза 2 – «Shell» (Light gas [14])	Фаза 3 – «Filler» (Heavy gas [14])
<b>Физический смысл фаз</b>	Единая рабочая текучая среда, обволакивающая оболочки/формы	Материал оболочки, m	Сжатая рабочая текучая среда
<i>Color Cell</i> <sup>1,2,3,4,5,6,7</sup>	Площадь <b>полной</b> поверхности ( <i>S</i> ) Длина ( <i>l</i> )*, Толщина слоя ( <i>h</i> )**, Полупериметр ( <i>p</i> ***), Ширина ( <i>t</i> ****), Объем ( <i>V</i> ),	Площадь поверхности ( <i>S<sub>m</sub></i> ), Толщина ( <i>h<sub>m</sub></i> ), Объем ( <i>V</i> ), Удельная плотность	Избыточное (удельное) давление ( <i>P<sub>0</sub></i> ), Объем ( <i>V</i> ), Удельная плотность



	Удельная плотность		
Точка <sup>1</sup> - сфера	$S = 4 \pi_{sp} R^2$ $V = 4/3 \pi_{sp} R^3$	-	-
Линия <sup>2</sup> - Цилиндр*	$S = l 2\pi_{sp} R + 2 \pi_{sp} R^2 =$ $2\pi_{sp} R (l+R)$ $V = l \pi_{sp} R^2$	-	$V = l$
Плоскость- треугольник <sup>3</sup> - Треугольная призма** ****	$S = 2[\sqrt{p(p-a)(p-b)(p-c)}] + h(a+b+c)$ $V = h\sqrt{p(p-a)(p-b)(p-c)}$	$S = \sqrt{p(p-a)(p-b)(p-c)}$ $V = h_m \sqrt{p(p-a)(p-b)(p-c)}$	$V = h\sqrt{p(p-a)(p-b)(p-c)}$
Сфера <sup>4</sup> - Полый шар**	$S = 4 \pi_{sp} R^2 + 4 \pi_{sp} (R-h)^2$ $= 4 \pi_{sp}(2R^2 - 2Rh + h^2)$ $V = 4/3 \pi_{sp} R^3 - 4/3 \pi_{sp} (R-h)^3 = 4/3 \pi_{sp}[R^3 - (R-h)^3]$	$S = 4 \pi_{sp} R^2 + 4 \pi_{sp} (R-h_m)^2 = 4 \pi_{sp}(2R^2 - 2Rh_m + h_m^2)$ $V = 4/3 \pi_{sp} R^3 - 4/3 \pi_{sp} (R-h_m)^3 = 4/3 \pi_{sp}[R^3 - (R-h_m)^3]$	$V = 4/3 \pi_{sp} (R-h_m)^3$
Тор закрытый <sup>5,7</sup> - полый тор**	$S = 4 \pi_t \pi_{sp} R^2$ $V = 2 \pi_t \pi_{sp} R^3 - 2 \pi_t \pi_{sp} (R-h)^3 = 2 \pi_t \pi_{sp}[R^3 - (R-h)^3]$	$S = 4 \pi_t \pi_{sp} R^2$ $V = 2 \pi_t \pi_{sp} R^3 - 2 \pi_t \pi_{sp} (R-h_m)^3 = 2 \pi_t \pi_{sp}[R^3 - (R-h_m)^3]$	$V = 2 \pi_t \pi_{sp} (R-h_m)^3$
Лист Мебиуса <sup>6*</sup> , **, ****	$S = 2lt$ $V = 2lth$	$S = 2lt$ $V = 2lth_m$	$V = lt$

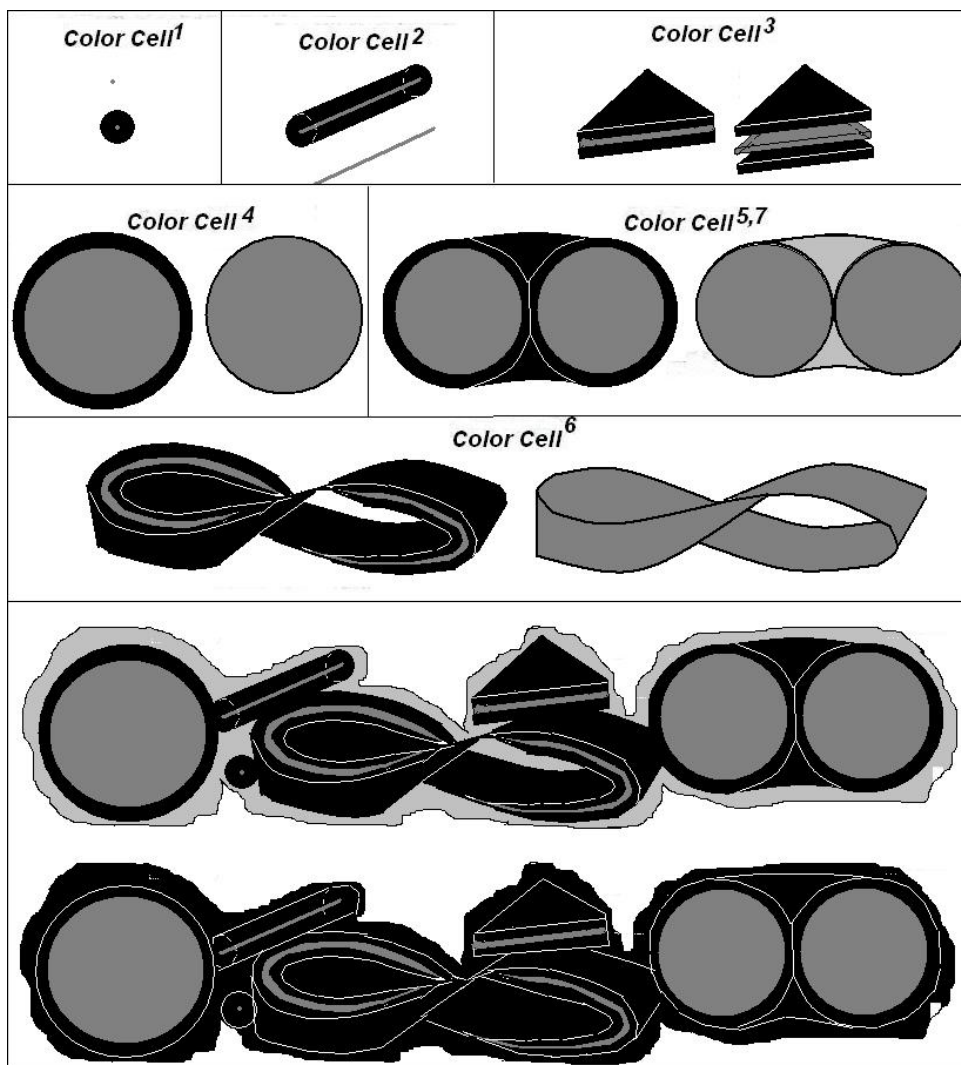


Рис. 2 Color Cell<sup>1,2,3,4,5,6,7</sup>, окутанные (обволоченные, обвитые, омываемые) системой каналов Плато-Шихирина (фаза 1- *Plato-Shikhirin Skeletone* или Эфир, черный цвет).

На Рис. 2 показаны Color Cell<sup>1,2,3,4,5,6,7</sup>, окутанные (обволоченные, обвитые, омываемые) локально (теоретически) и реальной объединяющей эти ячейки системой каналов Плато-Шихирина (Фаза 1).

**Можно сказать, что Фаза 1 является отпечатком или зеркальным материальным отражением всех элементов нано-, микро-, макро- и гегамиров Вселенной.**

### **Эфир**

Автор утверждает, что система каналов Плато-Шихирина (*Plato-Shikhirin Skeletone*) является не чем иным, как Эфир (*Aether*).

И вот здесь мы подходим к разгадке одной из самых важных тайн Природы, над которой бились **Великие практики** Человечества, например, Никола Тесла (Nikola Tesla) (1856-1943), который интуитивно чувствовал и понимал его (Эфира) физический смысл, поскольку создавал реальные энергетические природные системы, которые вырабатывали и передавали электрическую энергию не по проводам, а именно по системе каналов Плато-Шихирина, то есть по Эфиру.

Причем, внешний вид передаваемого **рукотворного (Теслой) целевого** энергетического и информационного заряда по внешнему виду был идентичен молнии – передаваемого **природного** энергетического и информационного заряда. Итак, из [<http://ru.wikipedia.org>] следует, что (дословно):

*«Эфир (мировой эфир, светоносный эфир) в физике с XVII века по 1930-е годы — промежуточная всепроникающая материальная среда, заполняющая всё безвоздушное пространство и все промежутки между частицами обычных веществ, колебаниями которой должны являться электромагнитные волны.*

*Данная теория была предложена физиком Н.Теслой.*

*Также до открытия периодического закона Д. И. Менделеева некоторые физики и химики полагали, что «эфир» является одним из базовых химических элементов.*

*Термины «эфир» и «квинтэссенция» иногда использовались в физике вплоть до 1970-х — 1990-х годов как синоним **вакуума** вообще или в предположении его **структурированности** в частности».*

Синоним «Эфира», как «Физический Вакуум», популяризировал и использовал в своих исследованиях мой друг и соратник, выдающийся физик-практик Анатолий Евгеньевич Акимов [15] (1938-2007), с которым я работал с 1989 года (Москва-Зеленоград) и, фактически, до дня его смерти, в системе предприятий «Межотраслевого научно-технического центра Венчурных нетрадиционных технологий» (МНТЦ ВЕНТ).

Целью МНТЦ ВЕНТ была «Разработка и внедрение промышленных, сельскохозяйственных, медицинских, экологических и других торсионных технологий» на основе ее целевого воздействия на «исправляемый» и управляемый, в последствии, объект или субъект, на который по эфирным каналам транслировалась торсионная энергия и информация, формируемая радио-электронным устройством (генератором) или **природным** (не назначенным кем-то или назначенным самим собой) генератором –экстрасенсом-оператором.

Технологией «подсветки» владеют так называемые экстрасенсы, которые могут «проявлять» ауру элементов растительного и животного мира, например, человека.

Одним из выдающихся природных **практиков-экстрасенсов** и, одновременно, инженером (без высшего образования), является мой друг и соратник Карпов Николай Константинович (Nikolay Karпов) – ведущий эксперт по космосенсорике и психотронике, который создал, в отличие от генераторов Акимова, систему принципиально новых генераторов и индикаторов торсионных полей, для их использования в наших совместных разработках (1990 – 1995 гг., Москва-Зеленоград), например, для создания:

- программно-структурированных материалов с целью получения заданных свойств,
- аппаратуры программного структурирования горюче-смазочных материалов с целью получения у них наперед заданных свойств,
- комплекса медицинских технологий, основанных на магнито-динамической целостной резонансной иммунотерапии,
- оценки функциональных характеристик нефти,

- аппаратуры воздействия для управления реологическими водоэмульсионными системами и химико-биологической активности воды и т.п.

Небольшая часть его исследований описана в [16].

Кстати, с автором этой монографии [16], исследователем-биологом-практиком Соколовой Валентиной Арсентьевной (Valentina Sokolova), автор статьи работал в 1990-93 гг. (Москва-Зеленоград, Россия) по созданию систем очистки и восстановления функциональных свойств воды, ее структурирования с наперед заданными свойствами, а также ускорения вегетационного периода южных растений, например, кукуруза, в северных (Подмосковье) условиях.



Рис. 3 Возможны и такие рукотворные технологии, которые разработал автор статьи.

Фрагмент статьи автора (перед сканированием черно-белое изображение), опубликованной в окружной газете Зеленограда (Москва) «41» Сорок один, № 7 (1285), 10 февраля 2001 года, стр. 3

([http://www.alt-tech.org/index.php?module=content&func=folder\\_view&id=46](http://www.alt-tech.org/index.php?module=content&func=folder_view&id=46))

В правом нижнем углу показана реальная фотография этих ороидов, созданных автором.

На рисунке четко видно проявление «семицветности» на тороидах, изготовленном автором: в середине по торическому узлу  $\sim (4.6 = 2.3)$ , справа и слева  $\sim (3.14)$ , соответственно.

Это структуризация цветов в статическом режиме, то есть тороид не выворачивается, он как бы застыл.

При этом заполнение (структуризация) поверхности и объема (рабочей текучей среды под избыточным давлением - ячейки Шихирина<sup>7</sup>) происходит по закону универсального «семицветного» торического узла (Таблица 2, Рис. 4)

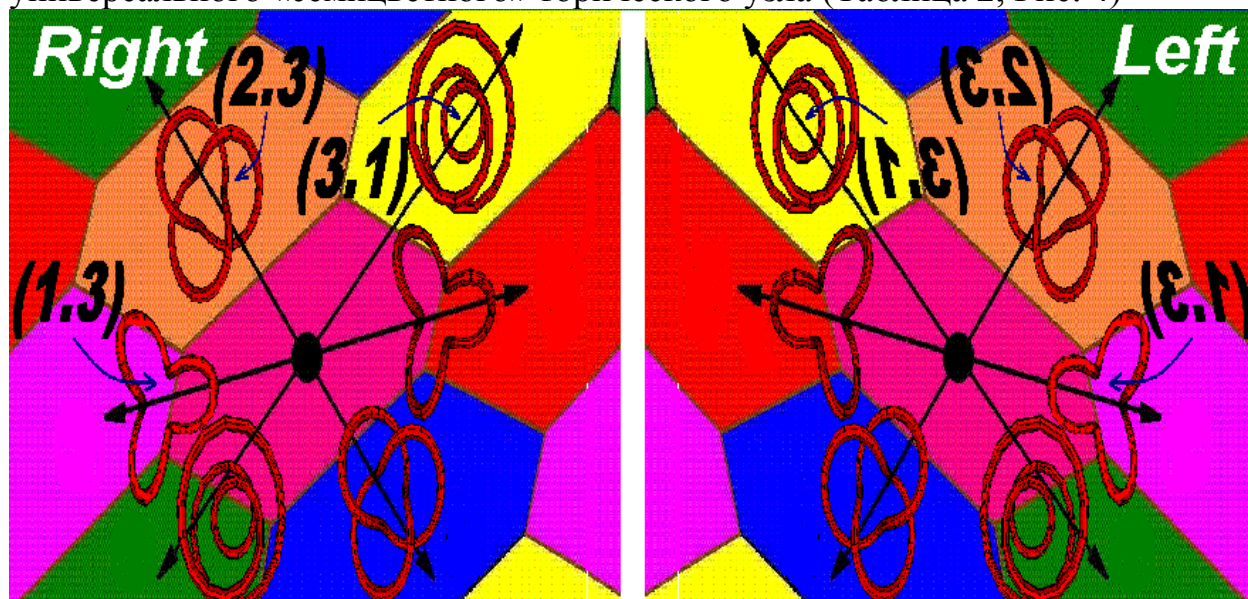


Рис. 4 Варианты универсального «семицветного» торического узла

Таблица 2

**Универсальный «семицветный» (информация) энергичный (энергия) торический узел или «Троичная система «семицветных» энергичных торических узлов»**

<b>Тип торического узла</b>	<b>Right (→) и Left (←) (Directions)</b>
<b>Базовый (7 Colors)</b>	<b>Количество вариантов (7pq/3 Colors)</b>
<b>(1.3)</b>	$\rightarrow(\{n_p + [(n_p - 1)/2]\} ; 3n_q)^{\rightarrow}$ $\leftarrow(\{n_p + [(n_p - 1)/2]\} ; 3n_q)^{\leftarrow}$ <p><math>\{n_p + [(n_p - 1)/2]\}</math> - количество витков вокруг меридиана тора, то есть последовательность чисел 1,2,4,5,7,8,10, ...; состоящая из натуральных чисел, за исключением числа 3 и чисел, кратных 3, где <math>n_p</math> - числа натурального ряда, операция <math>[X]</math> - есть операция взятия целой части (целочисленное деление)</p> <p><math>3n_q</math> - количество витков вокруг долготы тора, где <math>n_q</math> - числа натурального ряда</p>

<p>(2.3) The Trefoil Knot</p>	<p style="text-align: center;"><b>The Big Trefoil Knot</b></p> <p style="text-align: center;"><math>\rightarrow(2n_p; 3n_q)^{\rightarrow}</math></p> <p style="text-align: center;"><math>\leftarrow(2n_p; 3n_q)^{\leftarrow}</math></p> <p><math>2n_p</math> – количество витков вокруг меридиана тора, где <math>n_p</math> - числа натурального ряда,  <math>3n_q</math> – количество витков вокруг долготы тора, где <math>n_q</math> - числа натурального ряда</p>
<p>(3.1)</p>	<p style="text-align: center;"><math>\rightarrow(3n_p; \{n_q + [(n_q - 1)/2]\})^{\rightarrow}</math></p> <p style="text-align: center;"><math>\leftarrow(3n_p; \{n_q + [(n_q - 1)/2]\})^{\leftarrow}</math></p> <p><math>3n_p</math> – количество витков вокруг меридиана тора, где <math>n_p</math> - числа натурального ряда,  <math>\{n_q + [(n_q - 1)/2]\}</math> - количество витков вокруг долготы тора, то есть последовательность чисел 1,2,4,5,7,8,10, ...; состоящая из натуральных чисел, за исключением числа 3 и чисел, кратных 3, где <math>n_q</math> - числа натурального ряда, операция <math>[X]</math> – есть операция взятия целой части (целочисленное деление)</p>

Более того, «семицветность» или «цветовая» аура торов проявляется на всех страницах газеты в тех местах, где происходит их наложение.

Другими словами, если вкладывать, например, фотографии торов в любые предметы, то «семицветность» будет проникать в эти предметы, оставаться там на неопределенное время и при определенной «подсветке» этих предметов будет проявляться.

Технологией «подсветки» владеют так называемые экстрасенсы, которые могут «проявлять» ауру элементов растительного и животного мира, например, человека.

**Вывод: любой (каждый) объект от нано- до мегамира, обладает «цветовым» полем, то есть являться одним из полей, генерируемых энергией и информацией структуризации.**

Что касается динамического режима, то есть его выворачивания с большими угловыми скоростями, да еще его вращения вокруг продольной оси, то происходит процесс совмещения 7-ми цветов в так называемое «голубое свечение» или истинный белый цвет.

**«Голубое свечение» – это обратный процесс разложения белого цвета на 7-мь цветов.**

По рассказу очевидцев НЛО, которым я верю, в момент его зависания, то есть когда двигательная вихревая самоподдерживающаяся установка работает на холостом ходу, корпус НЛО обволакивает такая же цветовая картина с небольшой скоростью перемещающаяся в направлении от низа в вверх.

При начале его (НЛО) движения цветовая картина начинает перемещаться с большой скоростью, постепенно превращаясь в голубое свечение вокруг НЛО (многократное сложение цветов).

Такая же картина голубого свечения сопровождает природные вихревые машины как торнадо, шаровую молнию, малую комету и т.п., а также рукотворные системы, например, Виктора Шаубергера.

Более того, тип двигательной вихревой самоподдерживающейся установки можно визуально определить по количеству 7-ми цветных блоков, армированных универсальным «семицветным» торическим узлом (солитон Шихирин) (Таблица 2), и наоборот, если двигательная установка расчехлена, например, Schauberger Domestic Power Station, то автор без особого труда идентифицировал торический узел, в соответствии с которым Виктор Шаубергер создал эту машину, который не знал информации про торические узлы вообще [14, рисунок 14].

Универсальный «семицветный» торический узел или Универсальный «семицветный» (информация) энергичный (энергия) торический узел или «Троичная система «семицветных» энергичных торических узлов» является главной функциональной особенностью любого энергетического блока независимо от его функционального назначения, например, транспорт, источник энергии и т.п.

Вывод, возможно один из законов Природы, открытый (возможно) автором. Любая поверхность (математическое понятие) или типовые формы 3-х фазного состояния материи в Природе, например, рабочей текучей среды под избыточным давлением, автоматически генерирует «цветовое» поле («цветовые лучи» или аура), как часть поля энергии и информации структуризации, которое при определенных условиях, обстоятельствах и «господине случае» становится видимым (проявляется), как например, радуга. То есть при определенной «подсветке» (автор знает какой) будут визуализироваться не только 4-ре, тор 7-мь, лист Мебиуса 6-ть «красок» на/над их поверхностями, но и их внутренняя структура (каркас).

Необходимо отметить, что торсионная (вихревая) энергия и информация является составной частью энергии и информации структуризации или генерируется из ее начал.

Автор предлагает свое определение «Эфира», которое будет впоследствии уточняться, а именно:

*Эфир - это система каналов Плато-Шихирин (Plato-Shikhirin Skeletone) или 1-я фаза 3-х фазного состояния рабочей текучей среды самоподдерживающихся и трансформирующихся друг в друга типовых форм рабочей текучей среды в Природе, а именно: Пена<sup>4</sup>, Жгут<sup>4</sup>, VTortex, Пена<sup>VTortex</sup> и Поток Куэттэ-Шихирин.*

Эти типовые формы представляют из себя системы тонких сферических и торообразных оболочек, материалом которых является 2-я фаза (Shell), а рабочая текучая среда, заполняющая оболочки под избыточным давлением, является 3-ей фазой (Filler).

## Функциональные особенности Эфира:

- является единой неразделимой **разряженной** текучей рабочей средой (газ и/или жидкость), обволакивающей каждый элемент материи нано-, микро-, макро- и гегамиров, и существующей по законам русловых процессов (типовые формы существования текучей среды в Природе) например, нашу планету.

*Нано-, микро-, макро- и мегамиры - это вся Природа от гигантских космических структур и больше, до клеток животных, растений и меньше, представляет собой систему вложенных друг в друга сферообразных и торообразных оболочек, разделяющих различные среды и обеспечивающих одновременно непрерывность и дискретность топологически связанной единой среды [13].*

- конструктивно система каналов Плато-Шихирина или Эфир, напоминают бесконечную систему «матрешек» нано-, микро-, макро- и гегамиров с просверленными один раз дырками в каждой матрешке с целью создания единого пространства, сформированного из рабочей текучей среды, то есть эфира, обволакивающего все «матрешки» с внутренней и внешней стороны. Бесконечная система «матрешек» представляет из себя матрешки, расположенные 1) коаксиально друг в друге, 2) между их стенками, 3) сопряженно относительно друг друга и т.п. (Рис. 5),
- при определенных условиях (фазовый переход) может переходить в твердое (Пена<sup>4</sup>), аморфное (Жгут<sup>4</sup>) и интеллектуальное (VTortex, Пена<sup>VTortex</sup> и Поток Куэртгэ-Шихирина) состояние, и обратно,
- «неразрывно» и непрерывно сопровождает все возможные одиночные и/или групповые энерго-информационные фазовые переходы:  
Пены<sup>4</sup> ↔ Жгут<sup>4</sup> ↔ VTortex ↔ Пена<sup>VTortex</sup> ↔ Поток Куэртгэ-Шихирина,
- в процессе своего существования как самоподдерживающегося (самокорректирование) состояния и энерго-информационных фазовых переходов из одной формы типовой рабочей текучей среды в другую он (Эфир) одновременно является проводником энергии и информации (транслируют через себя как проводящую среду), например, электромагнитную, вихревую энергию с соответствующей информационной составляющей,
- все события энергоинформационных преобразований в 3-х фазном состоянии рабочей текучей среды и в формируемых из нее твердом и аморфном состоянии «известны» любой точке эфирного пространства и т.п.



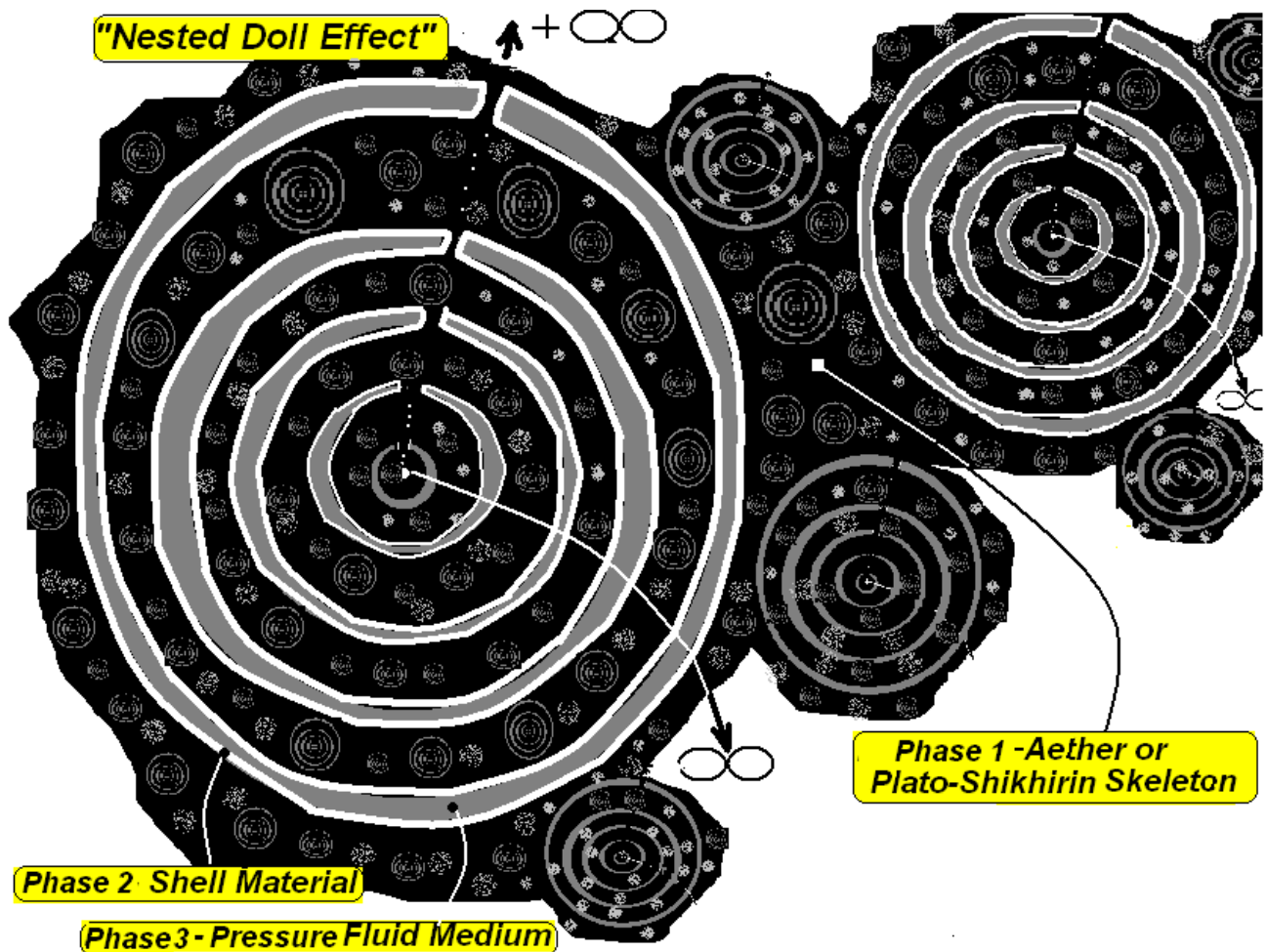


Рис. 5 Эффект «матрешек»

На Рис. 5 показан поперечный срез «матрешек», объединенных общей системой каналов Плато-Шихирин или Эфиром.

Общее пространство Эфира достигается «просверливанием» дырок в каждой «матрешке», размеры которых простираются от  $-\infty$  до  $+\infty$ , то есть от наномира и аномально меньше, до мегамира и аномально больше.

### Структуризация и деструктуризация Пены<sup>4</sup> и VTortex.

Рассмотрим процессы структуризации (структурообразование, формообразование) и деструктуризации Пены<sup>4</sup> нано-, микро-, макро- и мегамиров на примере одиночного мыльного пузыря, а далее процессы:

- структуризации VTortex,
- структуризации «твердого» структурного шара-додекаэдра, полученного путем поперечно-винтовой прокатки в центральной части VTortex,
- образования в/на одиночном «мыльном пузыре, Пене<sup>4</sup>, VTortex системы центров левитации и гравитации,
- образования в/на твердом структурном шаре-додекаэдре (Земля) системы центров левитации и гравитации.

**Кстати так структурируется атмосфера планет и звезд и т.п.**

«Мыльный пузырь» является базовым элементом мыльной пены, то есть плотной упаковки «одиноких» пузырьков-сфер – сферическая пена, автоматически

преобразующихся в плотную упаковку «одиноких» додекаэдров или их комбинаций – полиэдрическая пена [17-22].

**Мыльная Пена<sup>4</sup> (Foam<sup>4</sup>)** – идеальная действующая модель структур нано-, микро-, мини-, макро- и мегамиров, в том числе Пены<sup>4</sup> Вселенной [14], а **торнадо/смерч (VTortex)** – идеальная действующая модель структур VTortex-систем нано-, микро-, мини-, макро- и мегамиров, в том числе действующих галактик во Вселенной.

В Природе существуют различные конструкторско-технологические варианты групповых (Пена<sup>4</sup>) и одиночных «мыльных пузырей» (элементы Пены<sup>4</sup>), принципиально отличающихся друг от друга (Рис. 6).

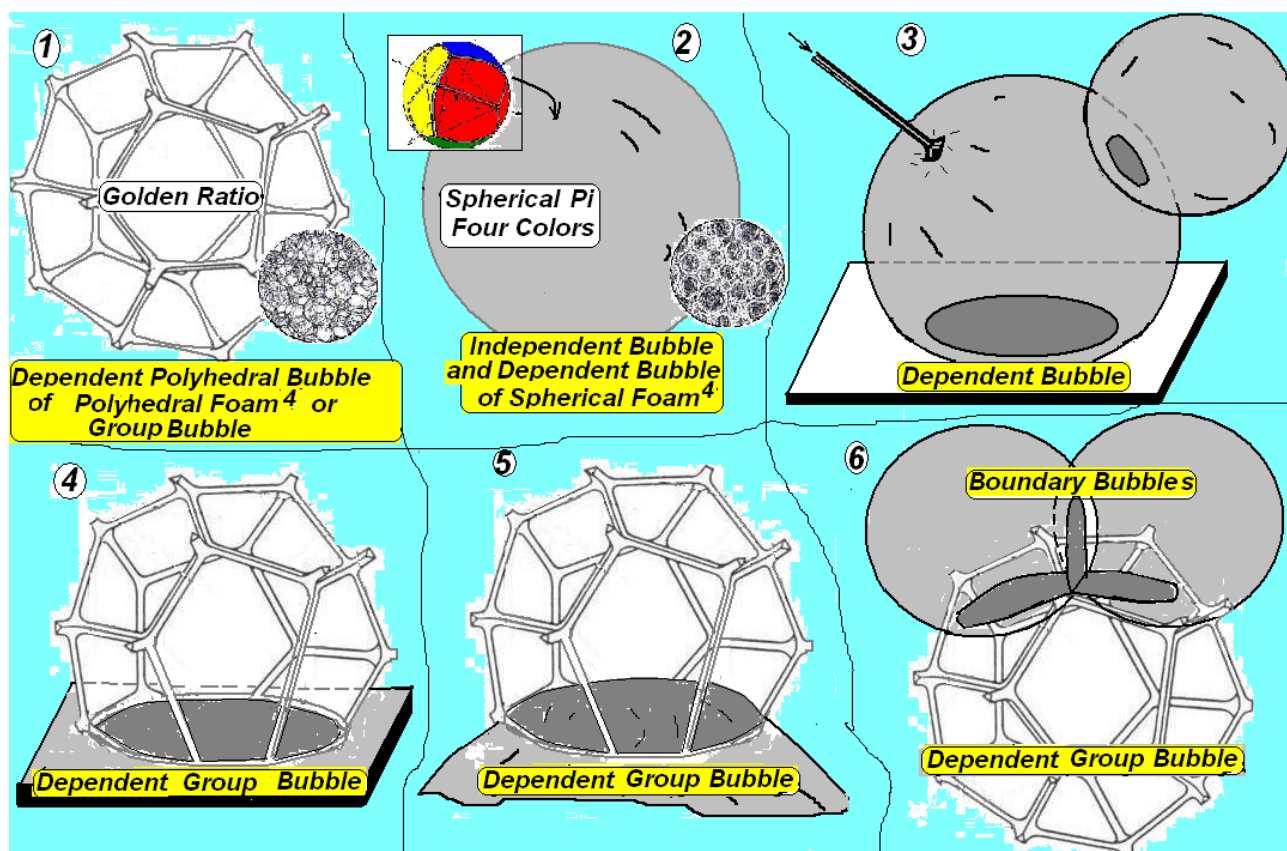


Рис. 6 Конструкторско-технологические варианты «мыльных пузырей», формирующих Пену<sup>4</sup> нано-, микро-, мини-, макро- и мегамиров, система каналов Плато-Шихирин (Plato-Shikhirin Skeletone) или Эфир (Ether) не показана.

На Рис. 6 показаны конструкторско-технологические варианты одиночных и групповых «мыльных пузырей», формирующих Пену<sup>4</sup>, а именно (в скобках номера рисунков Рис. 6):

- (2) одиночный, независимый пузырь-сфера и групповые пузыри-сферы, составляющие сферическую пену<sup>4</sup> (комплексное понятие дано в [17]),
- (1) пузыри-додекаэдры, составляющие полиэдрическую пену<sup>4</sup>,
- (3-6) пограничные, зависимые пузыри – полусферы/полудодекаэдры, из которых сформирована замкнутая сферическая мягкая/эластичная оболочка,

обрамляющая или замыкающая плотную упаковку «внутренних» пузырей-додекаэдров или/и пузырей-сфер.

Эта «пузырьковая» оболочка может граничить с любой текучей средой или/и твердой поверхностью.

Одиночные пузыри могут быть двух типов:

- независимый (свободный) - свободно перемещающийся или висящий в газовой среде), не соприкасающийся ни с какими объектами,
- зависимый (не свободный, полусфера) - контактирующий с любыми замкнутыми или/и разомкнутыми поверхностями твердых, жидкостных или газовых сред с различными площадями контактирования. Соприкасаемые поверхности могут быть вогнутыми, выпуклыми или повторяющими профиль контактирующих поверхностей.

Количество «красок» на таком полусферном пузыре остается равным четырем – в зависимости от контактной поверхности, а именно: три, два или один узел соединения границ «красок» переходят на границу полусферы и контактирующей поверхности, а один, два или три узла остается на верхней части полусферы, соответственно.

### ***Структуризация и деструктуризация одиночного «мыльного» пузыря-сферы.***

Известно [5], что одиночный «мыльный» пузырь представляет из себя мягкую/эластичную сферическую оболочку, заполненную или заполняемую рабочей текучей средой (газом) под избыточным давлением.

При формировании «пузыря-сферы» из « $\pi_{sp}$ -точки», в которой генетически заложены 4-ре сферических тетраэдра, составляющие «пузырь-сферу». При этом площадь ее поверхности представляет из себя 4-ре краски - основания тетраэдров, составляющих «пузырь-сферу», а именно: материал оболочки (Фаза 2) (Рис. 7).

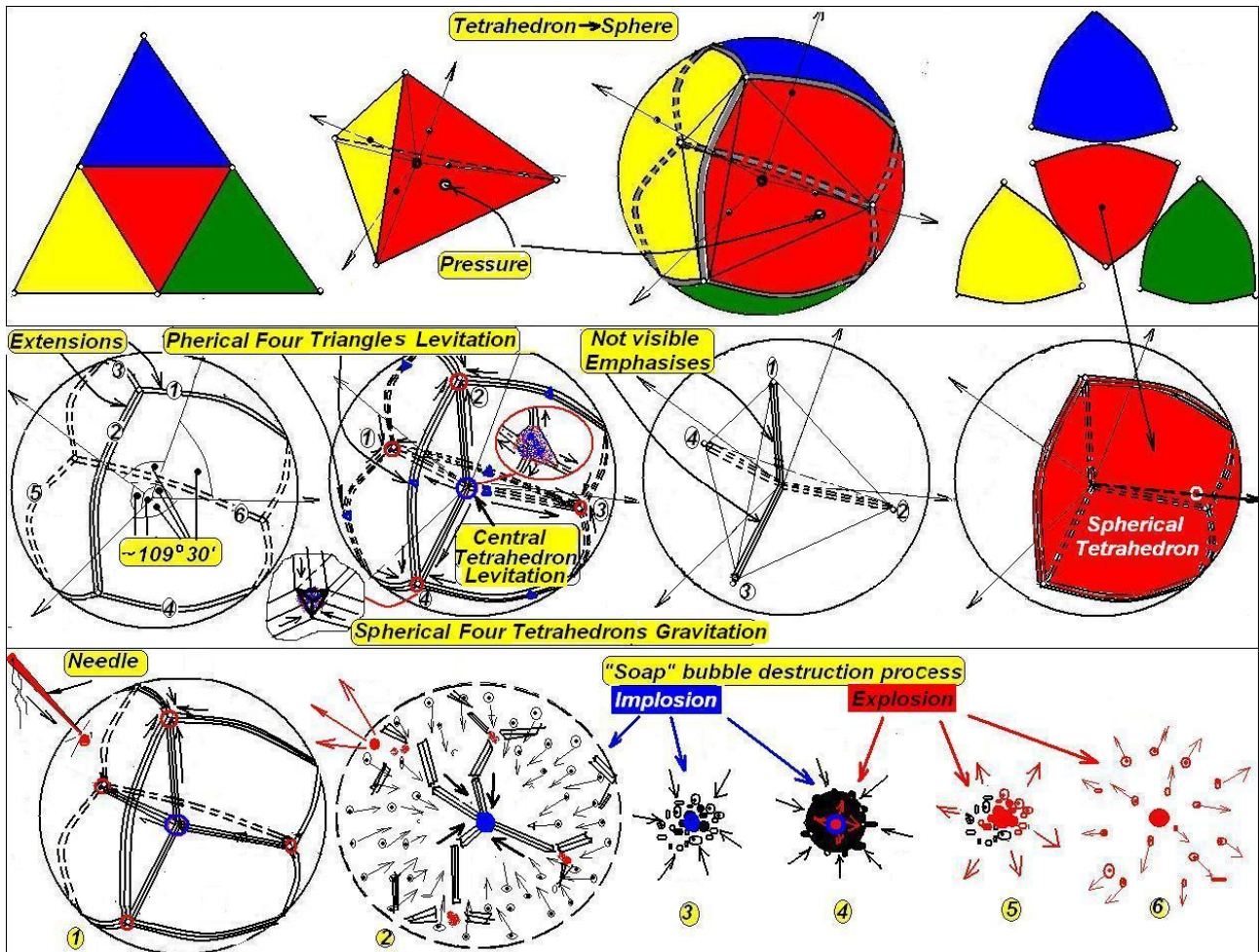


Рис. 7 Структуризация и деструктуризация одиночного «мыльного» пузыря-сферы. Система каналов Плато-Шихирина не показана.

На Рис. 7 показана силовая конструкция «мыльного пузыря-сферы», включающая в себя:

- **Упоры, стяжки** (Emphaseses, Couplers): 4-ре внутренние грани тетраэдров, объединенные в центре пузыря, формируют 4-ре оси 4-х мерного природного пространства, расположенные по отношению одна к другой под углом  $\sim 109^\circ 30'$ . Каждая ось представляет из себя общие 3 внутренние ребра 3-х тетраэдров. Поэтому, оси представляют из себя как бы трубы треугольного переменного сечения.

Центр «трубного» соединения, который находится в геометрическом центре пузыря, представляет из себя правильный – центральный тетраэдр,

- **Растяжки** (extensions): общие 4-ре периферийные ребра – границы «4-х красок», расположенные на поверхности пузыря, объединяющиеся в 4-ре центра. Поскольку каждый периферийный центр объединяет в себе 3 периферийные грани, то форма этих граней представляет из себя трубу треугольного переменного сечения.

Кроме этого, к каждому периферийному центру подходит из общего центра пузыря одна из осей, также треугольного переменного сечения.

Поэтому каждый из 4-х периферийных центров представляет из себя «неправильный» сферический тетраэдр.

Упоры и растяжки являются каркасом, поддерживающим в напряженном состоянии материал оболочки пузыря.

Как только материал оболочки теряет герметичность (1), то пузырь разрушается в следующей последовательности:

- сжатая рабочая текучая среда вырывается наружу (эксплозийный процесс), создавая при этом зону разряжения в центре уже несуществующего пузыря (2),
- разрушаются растяжки (2),
- разрушаются упоры (2),
- остатки материала оболочки пузыря и элементы, уже не существующей вырвавшейся наружу сжатой рабочей текучей среды («капли»), стремительно перемещаются к центру зоны разряжения (имплозийный процесс) (3),
- в центре зоны разряжения происходит столкновение «капель» (имплозийный взрыв) (4), в результате которого происходит разлет частиц от этого центра (эксплозийный процесс) (5,6).

### **Гравитация и левитация, и центры их образования**

Левитация и гравитация – это результат действия энергии и информации структуризации при формировании:

- типовых форм существования рабочей текучей среды в Природе,
- трансформации одной из этих форм в другую,
- формирования через фазовые переходы этих форм в твердое и/или аморфное состояние и обратно.

При этом:

**Гравитация (Gravitation) – это процесс поступательно-вращательного (вихревой, наволакивающийся процесс) стягивания (всасывания) материи (вещества) в имплозийные стоковые центры (Implosion Center) с помощью сил сверхвысокого вакуума, формируемых в этих центрах.**

Например для Земли – это сверхвысокий вакуум, находящийся в ее центре, параметры которого аномально менее  $10^{-5}$  Па.

**Левитация – это процесс поступательно-вращательного (вихревой, выворачивающийся процесс) выталкивания материи (вещества) из эксплозийных истоковых центров с помощью сил высокого давления, формируемых в этих центрах.**

По топологическому критерию n-мерности пространства, сфера – это одинокий пузырь, плотная упаковка сфер и/или додекаэров (сферическая и полиэдрическая Пена<sup>4</sup>), твердый одинокий пузырь (Земля), тор (VTortex) и плотная упаковка торов (Пена<sup>VTortex</sup>) имеют свою структуру взаимосвязанных функциональных уровней системы каналов Плато-Шихирин (Фаза 1) или, другими словами, функциональных уровней гравитации и левитации, которые выполняют следующие функции, как:

- трубопроводный транспорт,
- силовой каркас.

Каналы Плато-Шихирина представляют собой «трубы» переменного треугольного сечения.

При соединении концов «труб» формируются «трубные соединения» (Tube Joints), которые являются гравитационными и левитационными центрами, в основном - это тетраэдр, куб и додекаэдр.

В поперечном сечении каналы Плато-Шихирина могут иметь следующие формы поперечного сечения (Рис. 8, на примере мыльного пузыря):

- выпуклый треугольник (Convex Triangle) – это гравитационные каналы Плато, заполненные рабочей текучей средой под избыточным давлением,
- вогнутый треугольник (Concave Triangle) – это левитационные каналы Плато в которых рабочая текучая среда находится в состоянии вакуума.

**Сфера** (Рис. 8,9): при формообразовании (раздувании) сферы, составными частями которой являются плотная упаковка 4-х тетраэдров, рабочая текучая среда, находящаяся между ними, как оболочками, **выдавливается:**

1-й уровень - из пространства между гранями (стенками) ячеек в «ребра-оси».

При этом пространство между гранями «выхолащивается, пересыхает, исчезает» (высокий вакуум) и стенки становятся жесткими и гибкими, выполняя роль «стенок жесткости».

2-й уровень - радиально по «ребрам-осям-трубам» в направлении от центра сферы к периферии в сферические ребра-трубы тетраэдров – 6 границ «4-х красок».

При этом трубы «выхолащиваются, пересыхают» (высокий вакуум) их стенки становятся жесткими и гибкими, выполняя роль «внутренних ребер жесткости» (упоры, стяжки).

3-й уровень – от середины ребер-труб в направлении к узлам пересечения «трех красок» – оснований тетраэдров.

При этом ребра-трубы «выхолащиваются, пересыхают» (высокий вакуум), их стенки становятся жесткими и гибкими, выполняя роль «внешних ребер жесткости».

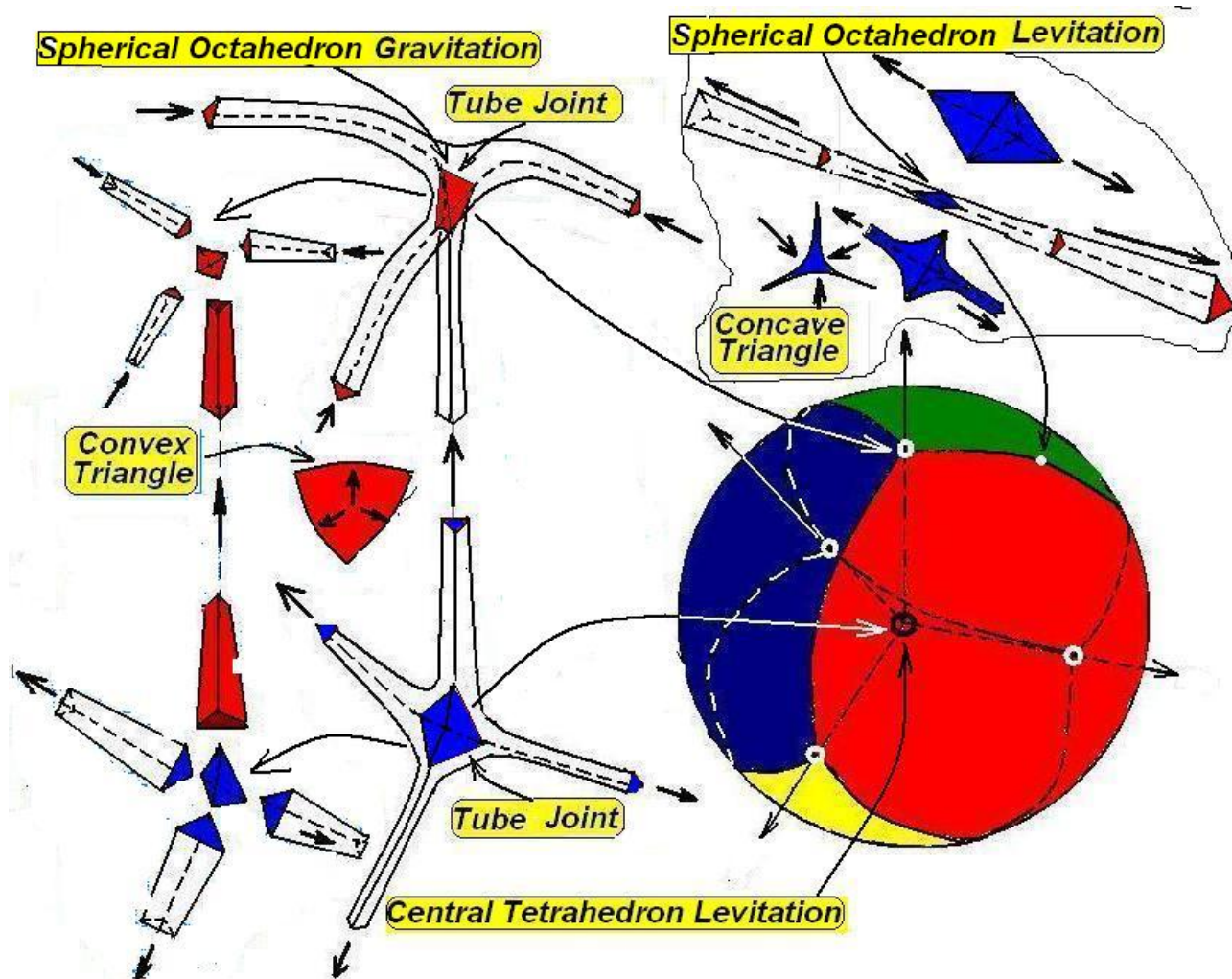


Рис. 8 Центры левитации и гравитации в/на мыльном пузыре или сферы

**Гравитационные центры** в пузыре-сфере, в которые стягивается вещество, находятся в 4-х узлах соединения «четырех красок» на его поверхности.

**Левитационные центры** в пузыре-сфере, из которых выталкивается вещество, находятся в:

- его геометрическом центре, имеющем форму деформированного тетраэдра (Central Tetrahedron Levitation),
- среднюю часть каждого из 6-ти ребер оснований 4-х тетраэдров, образующих сферу, имеющую форму деформированного куба.

Таким образом сфера имеет объединенные между собой системой каналов Плато-Шихирина или Эфиром четыре гравитационных на периферия (тетраэдры) и семь левитационных центров, то есть один центральный (додекаэдр) и шесть (кубов) на периферии.

**Пена<sup>4</sup>** (Рис. 9)

Пена<sup>4</sup> может быть двух типов: сферическая и полиэдрическая (додекадрическая). Сферическая пена<sup>4</sup> сформирована из сфер, ливитационные и гравитационные центры которых описаны в предыдущем абзаце.

Рассмотрим полиэдрическую пену<sup>4</sup>, одиночным элементом которой является додекаэдр или его модификации, далее додекаэдры.

При формообразовании полиэдрической пены (раздувание) происходит процесс преобразования сферы в додекаэдр, то есть 4-е тетраэдра, составляющие сферу, трансформируются в 12 пирамид, составляющих додекаэдр.

Иначе один тетраэдр трансформируется в три пирамиды с пентагональными основаниями додекаэдров.

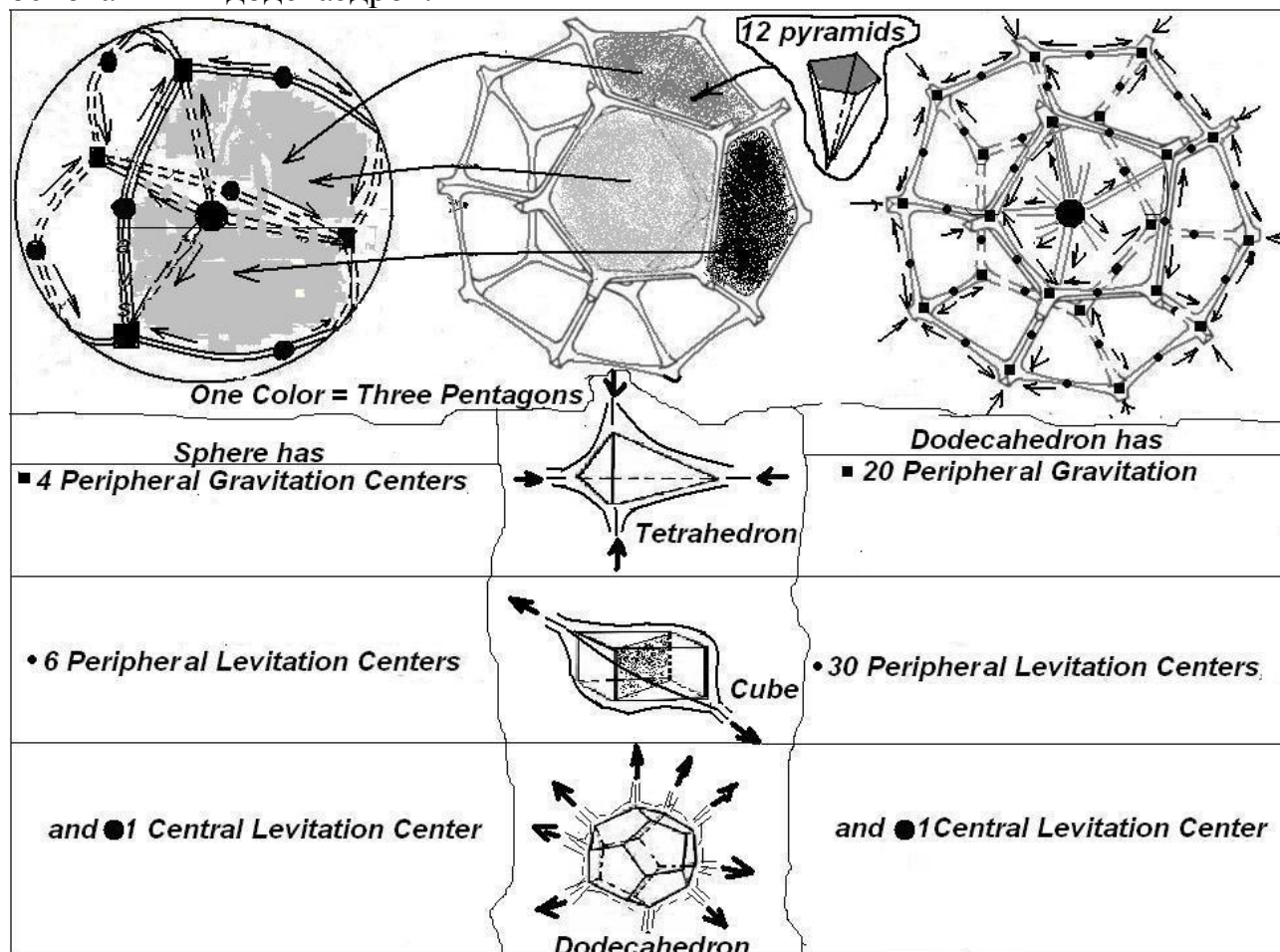


Рис. 9 Преобразование сферической пены<sup>4</sup> в додекадрическую пену<sup>4</sup>

Тогда структура (конструкция) додекаэдра состоит из:

- 12-ти пирамид с тридцатью общими гранями (тридцать ребер додекаэдра),
- основания пирамид – 12-ть пентагонов, вместе которые являются поверхностью додекаэдра,
- двадцати общих ребер пирамид (двадцать вершин додекаэдра) упирающихся в геометрический центр додекаэдра.

При формообразовании (раздувание) сфер в додекаэдры, составными частями которых является плотная упаковка 12-ти пирамид с пентагональными основаниями, рабочая текучая среда, находящаяся между ними, как оболочками, **выдавливается: 1-й уровень** - из пространства между 30-ю гранями (стенками) ячеек в 20-ть «ребер-оси».

При этом пространство между гранями «выхолащивается, пересыхает, исчезает» (высокий вакуум) и стенки становятся жесткими и гибкими, выполняя роль «стенок жесткости».



2-й уровень - радиально по 20-ти «ребрам-осям-трубам» (двадцать вершин додекаэдра) в направлении от центра додекаэдра к его периферии.

При этом трубное пространство «выхолащивается, пересыхает, исчезает» (высокий вакуум), их стенки становятся жесткими и гибкими, выполняя роль «внутренних ребер жесткости» (упоры, стяжки).

3-й уровень – от середины ребер-труб додекаэдра (периферия) в направлении к узлам пересечения трех пентагонов додекаэдра.

При этом трубное пространство «выхолащивается, пересыхает, исчезает» (высокий вакуум), их стенки становятся жесткими и гибкими, выполняя роль «внешних ребер жесткости».

4-й уровень – к узлам пересечения трех пентагонов додекаэдра еще 12 ребер-труб других 12-ти додекаэдров, составляющих их плотную упаковку – *додекаэдрический модуль*.

При этом ребро-трубы «выхолащиваются, пересыхает, исчезает» (высокий вакуум), их стенки становятся жесткими и гибкими, выполняя роль «внешних ребер жесткости» уже плотной упаковки 13-ти додекаэдров – додекаэдрического модуля и т.п.

После этого наступает момент существования устойчивой полиэдрической пены<sup>4</sup>.

**Таким образом додекаэдр, как формообразующий элемент полиэдрической пены<sup>4</sup>, имеет объединенные между собой системой каналов Плато-Шихиринна или Эфиром 20 гравитационных (тетраэдр) на периферии, и 31 левитационных центра - 1 центральный (додекаэдр) и 30 (кубы) на периферии.**

**«Твердый» одинокий пузырь – додекаэдр (подробно расписано в [14].**

При формообразовании (процесс прессования, сжатия) любой планеты или звезды станом поперечно-винтовой прокатки действующей галактики, например, галактики «Млечный Путь» или «Туманность Андромеды» (те же процессы происходят при формообразовании градин, капель дождя и снежинок только с другими физическими параметрами), их составными частями является плотная упаковка 12 пирамид с пентагональными основаниями.

Процесс формообразования «твердого» додекаэдра состоит из двух этапов:

- непосредственное сверххолодное формирование додекаэдра в процессе прессования и поперечно-винтовой прокатки, то есть формирование 12-ти додекаэдрических пирамид, вершинами упирающихся в центр, который является центральным гравитационным центром [9],
- **доформирование** додекаэдра, то есть увеличение его объема без увеличения веса после его выхода из стана поперечно-винтовой прокатки за счет:
  - нагревания «факелом жизни»,
  - эффекта «недовыжатой» губки, поскольку планета не абсолютно твердая и имеет рыхлую структуру.

В этом случае центральный гравитационный центр усиливает свой заряд сверхвысокого вакуума.

Гравитационный центр сверхвысокого вакуума удерживает от распада планету, атмосферу планеты и все что находится на ее поверхности.

Следует только отметить, что:

«Твердый» додекаэдр имеет объединенные между собой системой каналов Плато-Шихирина или Эфиром 20 левитационных на периферии, и 31 гравитационных центра - 1 центральный (в геометрическом центре планеты) и 30 на периферии.

Более того, 30 гравитационных центров и 20 левитационных центров на периферии являются геопатогенными зонами на любой планете, в том числе, на Земле: 30 – отрицательные, а 20 - положительные, соответственно.

**Тор:** В этой статье остановимся только на представлении рисунка (Рис. 10), показывающего систему гравитационных и левитационных центров тора, а также упомянем, что:

**Тор** при «семицветном» заполнении (Рис. 8) имеет объединенные между собой системой каналов Плато-Шихирина или Эфиром 21 периферийных, 14 центральных (на струне тора) левитационных центров и 14 периферийных гравитационных центров. В периферийные гравитационные центры стягивается материя, например, все звездное вещество в любой действующей галактике.

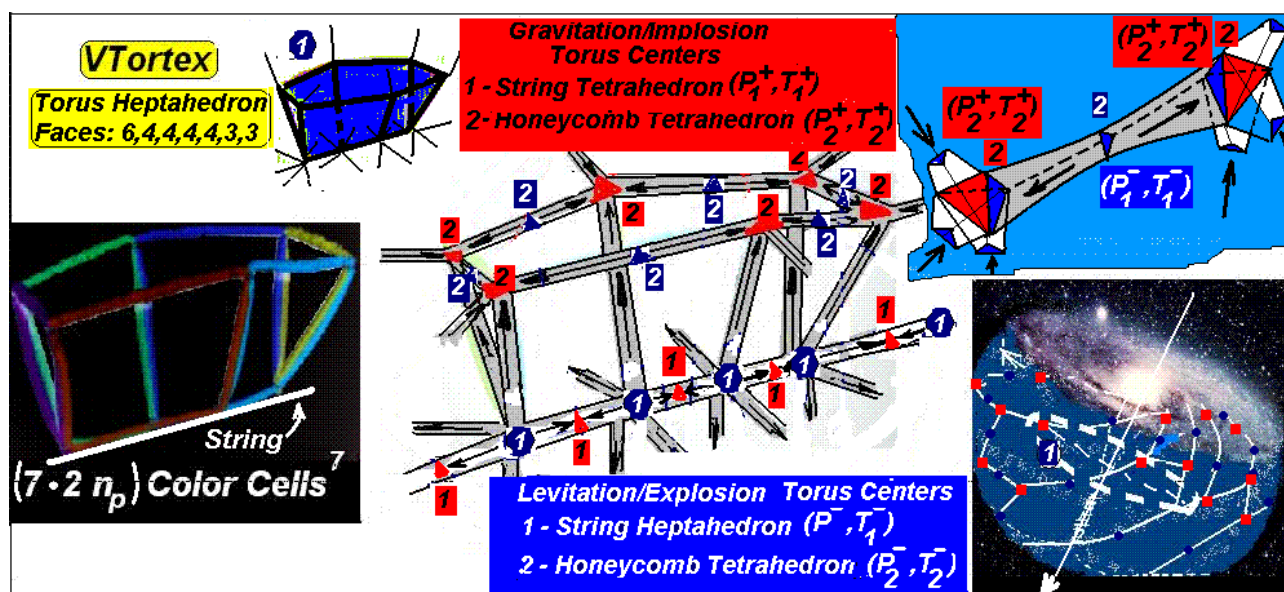


Рис. 10 Гравитационные и левитационные центры тора

### Расчет объема и площади поверхности периферийной и центральной части тора

**Обозначения:**

$T$  – Torus,  $Cn$  – Cone,  $Cl$  – Cylinder.

Объем тора или его «цилиндрической» развертки:

$$V_{Cl} = V_T = 2\pi^2 r_T^3,$$

$R_T$  и  $r_T$  - радиусы тора,

$H$  – длина средней линии (струны) тора  $T$ :

$$H = 2\pi r_T,$$

площадь поверхности тора:

$$S_T = 4\pi^2 r_T^2.$$

Кривая перегиба – линия, где периферия тора переходит в его центральную часть и наоборот.

Кривых перегиба две, их длина равна длине средней линии (струны) тора, то есть  $2\pi r_T$ .

Будем исходить из того,

1. Для простоты рассмотрим закрытый тор, когда  $R_T = r_T$ , и обозначим «общий» радиус  $r_T$ .
2. Поскольку при «семицветном» (один раз) заполнении тора возможны три варианта (направления) заполнения в соответствии с торическими узлами (3.1), (1.3) и (2.3) (Таблица 2) (Рис. 4), то для простоты выберем направление заполнения по торическому узлу (3.1)
3. Что объем тора состоит из минимум 7-ми ячеек Шихирина<sup>7</sup>, а его площадь поверхности из 7-ми оснований (сот) ячеек Шихирина<sup>7</sup>, соответственно. Соотношения объемов и площадей центральной и периферийной части не меняется при развитии структуры тора, то есть увеличении количества ячеек Шихирина<sup>7</sup> по закону заполнения тора в соответствии с универсальным «семицветным» торическим узлом (солитон Шихирина) (Таблица 2).

### Расчет объема периферийной и центральной части тора

Нарисуем «цилиндрическую»(объемную) развертку тора (Рис. 11), где объемы и площади поверхностей ячеек Шихирина<sup>7</sup> равны между собой, то есть

$$V_1^{Cylinder} = V_2^{Cylinder} = \dots V_6^{Cylinder} = V_7^{Cylinder} = 2\pi^2 r_T^3 / 7,$$

$$S_1^{Cylinder} = S_2^{Cylinder} = \dots S_6^{Cylinder} = S_7^{Cylinder} = 4\pi^2 r_T^2 / 7, \text{ соответственно.}$$

Две половины «цилиндра», разрезанные вдоль или поперек, представляют из себя периферийную и центральную часть тора, соответственно.

При свертывании «цилиндрической» (объемной) развертки в тор произойдет перераспределение объемов и площадей поверхностей тора в/на «коническую» (объемную) развертку (Рис. 12), то есть

$$V_1^{Cone} > V_2^{Cone} > \dots > V_6^{Cone} > V_7^{Cone},$$

$$S_1^{Cone} > S_2^{Cone} > \dots > S_6^{Cone} > S_7^{Cone}, \text{ соответственно.}$$

Объем и площадь поверхности периферийной части тора «раздувается», а объем и площадь поверхности центральная части тора сжимается.

Две половины (по 3,5 ячейки Шихирина<sup>7</sup>) «конуса», по аналогии с «цилиндром», представляют из себя периферию и центральную часть тора, соответственно.

Объемы цилиндра и конуса равны, то есть

$$V_{Cl} = V_T = 2\pi^2 r_T^3$$

В свою очередь объем конуса  $V_{Cn}$

$$V_{Cn} = V_T = 1/3\pi r_{Cn}^2 2\pi r_T = 2/3\pi^2 r_{Cn}^2 r_T.$$

То есть

$$V_{Cl} = V_{Cn}, \text{ и } 2\pi^2 r_T^3 = 2/3\pi^2 r_{Cn}^2 r_T.$$

Тогда радиус основания конуса равен

$$r_{Cn} = \sqrt{3} r_T.$$

Расчитаем объем центральной части тора (малого конуса), начинается с середины конуса, поскольку как цилиндр так и конус содержат 7 ячеек Шихирина<sup>7</sup>, их половины содержат по 3,5 ячеек, соответственно.

$$V_{\text{центральной части тора}Cn} = 1/3\pi(r_{Cn}/2)^2 \pi r_T = 1/3\pi(r_T \sqrt{3}/2)^2 \pi r_T = 1/4\pi^2 r_T^3$$

Тогда

$$V_{\text{периферии тора}Cn} = 2\pi^2 r_T^3 - 1/4\pi^2 r_T^3 = 7/4 \pi^2 r_T^3,$$

а их соотношение будет равно

$$V_{\text{центральной части тора}Cn} / V_{\text{периферии тора}Cn} = 1/7 \text{ или}$$

$$V_{\text{периферии тора}Cn} / V_{\text{центральной части тора}Cn} = 7$$

То есть объем центральной части тора занимает 1/7 объема тора, а вторая половина занимает 6/7 объема тора, соответственно.

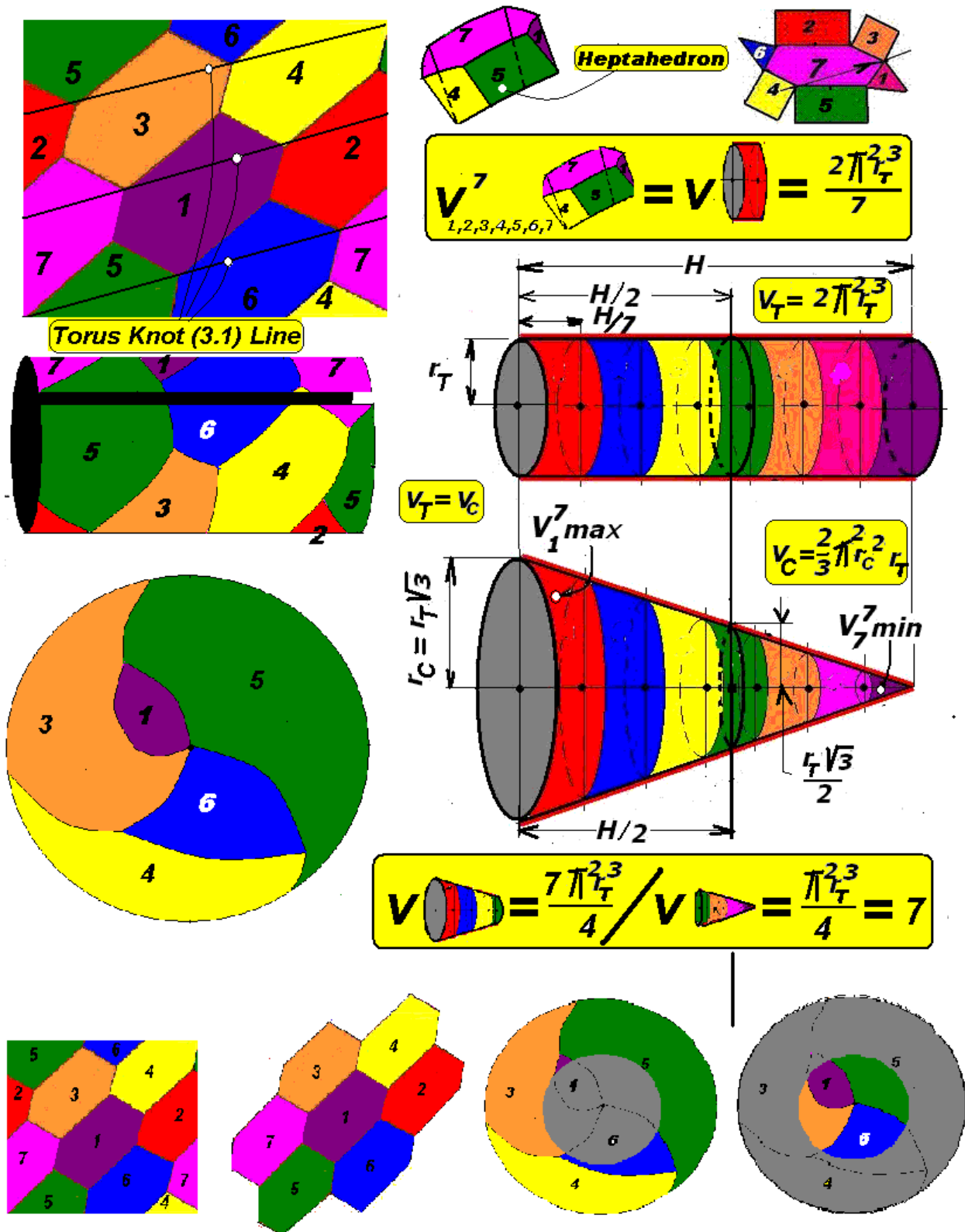


Рис 12 Расчет объема центральной и перийной части тора и их соотношение

**Расчет площади поверхности периферии и центральной части тора**  
 Трансформируем плоскую (квадрат) развертку тора в коническую (равнобедренный прямоугольный треугольник). При этом их площади поверхности равны (Рис. 13).  
 То есть

$$S_T = S_{Cn} = 4\pi^2 r_T^2.$$

Тогда площадь поверхности центральной части тора

$$S_{\text{пов.центральной части тора}} = \pi^2 r_T^2$$

Так как площадь поверхности тора

$$S_T = S_{\text{пов.центральной части тора}} + S_{\text{пов.периферии тора}}$$

То площадь поверхности периферийной части тора

$$\begin{aligned} S_{\text{пов.периферии тора}} &= S_T - S_{\text{пов.центральной части тора}} = 4\pi^2 r_T^2 - \pi^2 r_T^2 \\ &= 3\pi^2 r_T^2 \end{aligned}$$

Их соотношение, то есть

$$S_{\text{пов.центральной части тора}} / S_{\text{пов.периферии тора}} = 1/3 \quad \text{или}$$

$$S_{\text{пов.периферии тора}} / S_{\text{пов.центральной части тора}} = 3.$$

То есть 1/3 поверхности тора находится в его центральной, а 2/3 поверхности тора находится на его периферии.

Вычислим “сложность детали” [25] тора, его центральной и периферийной части:  
«Сложность детали» тор:

$$V_T / S_T = 2\pi^2 r_T^3 / 4\pi^2 r_T^2 = r_T / 2$$

«Сложность периферии детали» тор:

$$V_{\text{периферии тора}} / S_{\text{пов.периферии тора}} = 7/4 \pi 2 r_T^3 / 3 \pi^2 r_T^2 = 7/12 r_T,$$

«Сложность центральной части детали» тор:

$$V_{\text{центральной части тора}} / S_{\text{пов.центральной части тора}} = 1/4 \pi^2 r_T^3 / \pi^2 r_T^2 = r_T / 4$$

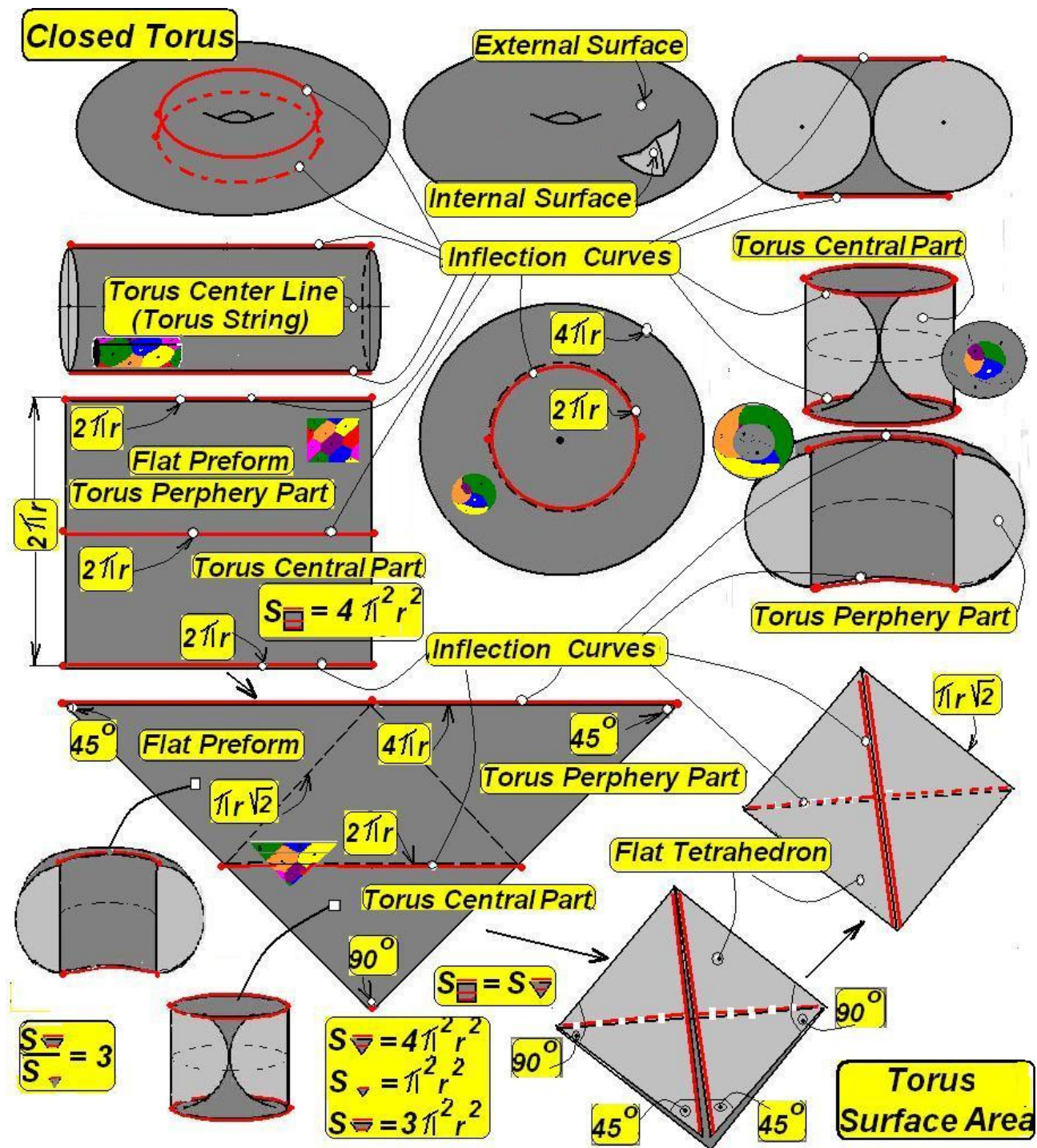


Рис 13 Расчет площади поверхности центральной и перийной части тора и их соотношение

В правом нижнем углу рисунка 13 показано сворачивание конической развертки тора в тетраэдр (четыре краски). В результате сворачивания получается плоский многогранник (тетраэдр).

### Структуризация атмосферы звезд и планет

Итак, атмосфера планеты или звезды структурируется «потокм Куэттэ-Шихирина» (by “**Flow Couette-Shikhirin**”) - 5-я типовая форма существования 3-х фазной текучей среды и характеризуется следующим:

- атмосферные торы, как элементы потока Куэттэ-Шихирина, удерживаются на поверхности структурного шара за счет сил сверхвысокого вакуума - *гравитация*, находящегося в центре звезды или планеты.
- Количество атмосферных торов в потоке Куэттэ-Шихирина зависит от величины сил сверхвысокого вакуума, а именно: чем больше торов, тем сильнее гравитационное поле планеты и развитей атмосфера, и наоборот (таблица).
- атмосфера Земли структурируется by Polar, Ferel and Hadley cells или поток Куэттэ-Шихирина из шести торов, атмосфера Марса представляют из себя два тора летом и один тор зимой [23] (Рис. 14).
- Чем развитей атмосфера, тем она более насыщена рабочей текучей средой, и имеет больший удельный вес и объем.
- При нечетном количестве торов самый большой тор находится на экваторе, как на Юпитере, и наоборот, при четном количестве торов два одинаковых самых больших тора находятся симметрично относительно экватора, как ячейки Гадлея (Hadley Cells).
- Слабый центр гравитации планеты или его отсутствие говорят о том, что отсутствует полноценная атмосфера - «поток Куэттэ-Шихирина» (**Flow Coutte-Shikhirin**).
- Торы, формирующие атмосферу планеты/звезд не всегда видимы невооруженным глазом.

Поэтому необходима разработка сенсоров, создаваемых на новых принципах, «чувствующих» эти мягкие/эластичные торообразные оболочки, заполненные рабочей текучей средой с избыточным давлением.

***При заинтересованности каких-либо организаций в создании таких сенсоров, автор знает как это сделать и готов помочь своими знаниями в этих разработках.***

С помощью следующей пропорции можно получить число торов ( $X$ ), формирующих атмосферу планеты (Рис. 16, таблица 3):

$$\frac{G_{Земли} \rightarrow 6}{G_{планет/Солнца} \rightarrow N}$$

То есть

$$X = (G_{планет/Солнца} \cdot N) / 1 = G_{планет/Солнца} \cdot N,$$

где  $G$  – сила тяжести,  $G_{Земли} = 1$ ,  $6$  - количество торов атмосферы Земли,  $N$  - количество торов атмосферы планет/Солнца.

Таблица 3

**Возможная зависимость количества торов (поток Куэттэ/Шихирина) от силы тяжести на поверхности планеты или Звезды на примере Солнечной системы**

Планета или звезда	Сила тяжести $G$ , относительно	Отношение $G_{планеты}$ к $G_{Земли}$	Количество торов	Тип атмосферы



	Земли			
Солнце	28	28/1	28X6 = 168	Закрытая (открытая)
Меркурий				
Венера	1/4	1/4	1 - 2	Полуоткрытая (1) – закрытая (2)
Земля	1	1	6	Закрытая (6)
Марс	1/3	1/3	1 - 2	Полуоткрытая (1) – закрытая (2)
Юпитер	>1(1,2 – 1,5)	>1(1,2–1,5)	9	Полуоткрытая (9)
Сатурн	<1(0,5 – 0,9)	<1	3 – 5	Полузакрытая (3) – открытая (5)
Уран	<1(0,5 – 0,9)	<1	3 – 5	Полузакрытая- открытая
Нептун	>1(1,2 – 1,5)	>1(1,2–1,5)	7 - 9	Полуоткрытая (7) – открытая (9)
Плутон				
<i>Луна</i>	1/6	1/6	1	Полуоткрытая (1)

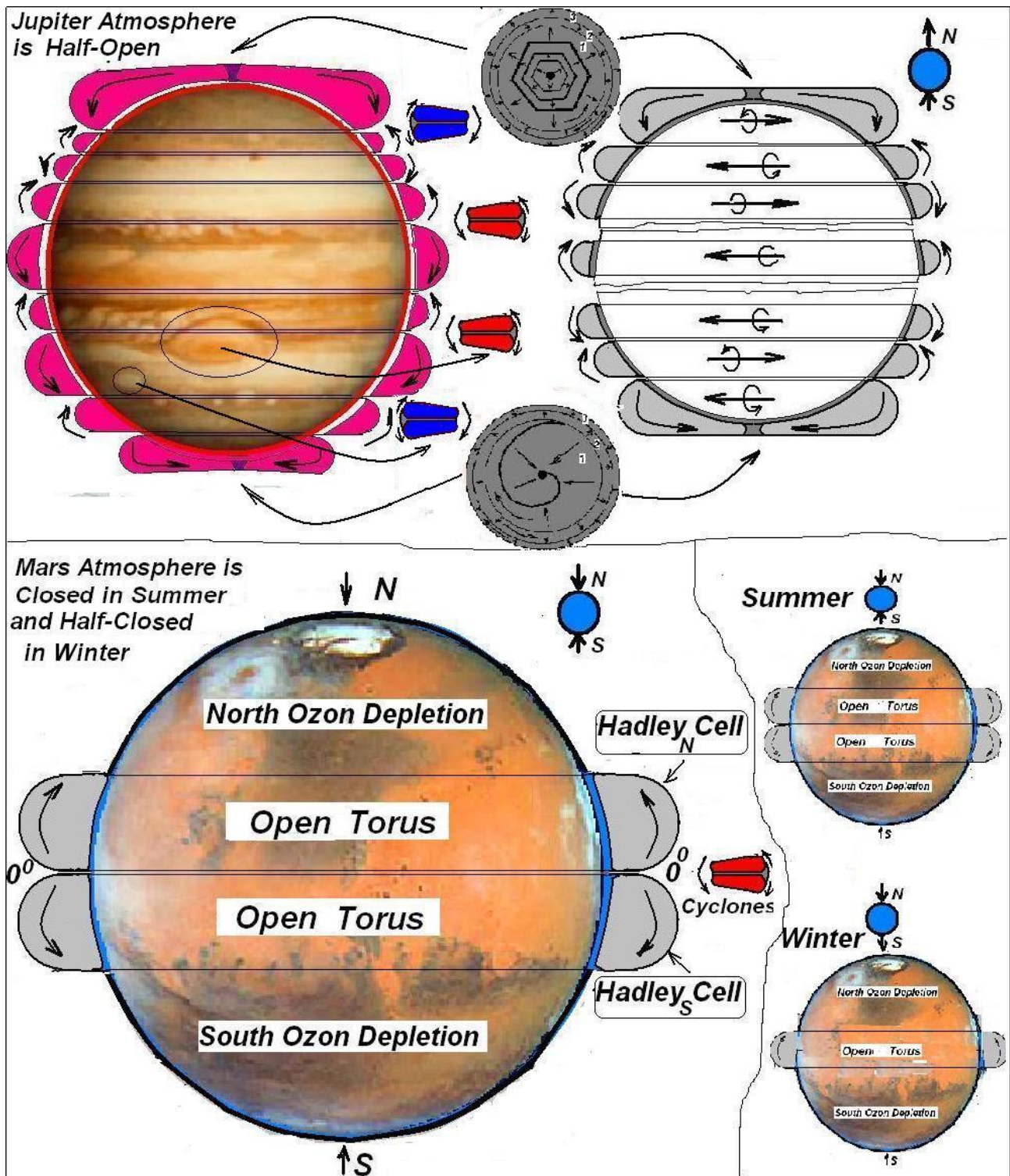


Рис. 14 Атмосфера Юпитера и Марса.

В [6] подробно описано формирование атмосферы Земли, ее последующее существование и деструктуризация, индикатором которой является «Озоновая дыра».

Рис. 14 показывает неизменяемую во времени атмосферу на примере атмосферы Юпитера, поскольку там нет человеческой деятельности.

На фотографиях планеты Юпитер хорошо видны ([http://en.wikipedia.org/wiki/Great\\_Red\\_Spot#Great\\_Red\\_Spot](http://en.wikipedia.org/wiki/Great_Red_Spot#Great_Red_Spot)):

- коричневые/красные «пятна», самое большое из которых называется «The Great Red Spot».

Эти «пятна» ничто иное как «хвосты» **циклоновских торнадо**, которые подобны всем торнадо, бушующим на планете.

Головы юпитерских торнадо – взрывные радиальные истоки (сверхвысокий вакуум и температура, а также меньший диаметр конического тороида-VTortex), навлакиваясь на поверхность Юпитера, всасывают в себя ее поверхностные слои ([6], *Рис. 11 Этапы функционирования самоподдерживающегося смерча – конического тороида, с учетом «закона набухания», как трехфазного состояния 3-й типовой формы рабочей текучей среды в Природе – VTortex*).

Поэтому хвосты юпитерских торнадо имеют коричнево-красный цвет.

- белые «пятна», расположены параллельно коричнево-красным «пятнам» и имеют меньший размер по сравнению с ними.

Эти «пятна» ничто иное как «головы» **антициклоновских торнадо** – имплозийные радиальные стоки (сверхвысокий вакуум и температура, а также меньший диаметр конического тороида-VTortex).

Поэтому они имеют чистый снежно/ледяной цвет, поскольку всасывают практически несуществующую пыль из космоса.

Атмосфера Юпитера как и все атмосферы планет, где нет человеческой деятельности, вместе с планетой прекратит свое существование, когда «лопнет» по «закону набухания» [10] наша Галактика, превысив свои типовые природные размеры.

В этом случае прекратят свое существование все звездные, солнечные системы нашей Галактики, в том числе и наша Солнечная система.

Я думаю, что существует еще одна из глобальных опасностей для существования жизни на Земле, и заключается она в том, что для покрытия своих нужд, более развитые цивилизации, пройдя путь углеводородной и атомной эйфории, используют нетронутые экологические биологические ресурсы «мертвых» планет, в том числе воруют (похищают) биологические ресурсы нашей планеты, а именно:

- пока экологически чистые верхние слои грунта планеты со дна океанов, не загрязненные Человечеством,
- лед и пресную воду, находящуюся в Антарктике,
- экологически чистое «семя Человечества» для обновления или очищения населения будущих поколений других более высших цивилизаций.

Семя Человечества, которое рождается в типовых условиях любой пригодной для жизни планеты, и не зависимо от времени, не ощущает прошлое время и развивается также, как его, более высшей цивилизации, свестники.

Например, найденное семечко пшеницы, которому сотни-тысячи лет, (а возможно, что оно завезено с другой планеты), при определенных условиях произрастет сегодня без вирусов и химии, и даст хороший экологически чистый урожай.

Гуманоид (Человек) – он и во Вселенной Человек, независимо от планеты и времени – это энерго-информационный процесс структуризации.

Делают это они очень изысканно и искусно!

Естественно, что они вывозят эти ресурсы, используя «сублиматические» энергоинформационные технологии, пока неизвестные нам.

Возможно, что «счастливчики», вырвавшись из погибающей Земли и поселившись на новой Земле, будут действовать также для своего выживания.

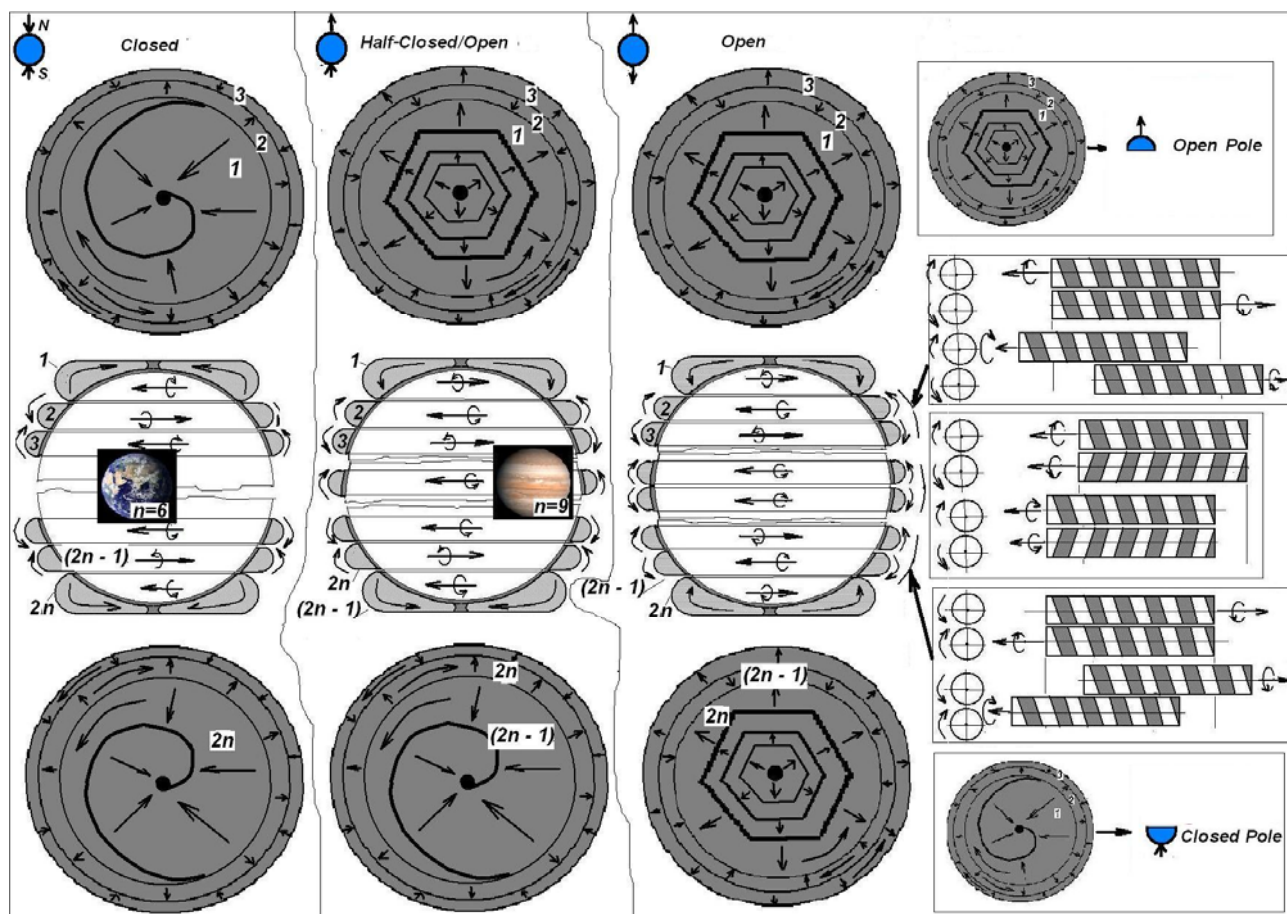


Рис. 15 Возможные конструкторско-технологические варианты функционирования атмосферы планет.

На Рис. 15 показаны:

- три конструкторско-технологических варианта функционирования атмосфер планет, а именно:

- закрытой,
- полузакрытой/открытой,
- открытой,

- виды сверху, сбоку и снизу этих трех вариантов атмосфер планет, в том числе Земли.

- справа, на примере взаимодействия двух винтов, показано взаимодействие наволакивающихся или выворачивающихся относительно друг друга двух торов, совмещенных по продольным осям, а именно: верхняя часть – начальное состояние, нижняя часть после акта взаимодействия – конечное состояние.

- смотри реальные фотографии верха - северного полюса Сатурна - [http://en.wikipedia.org/wiki/File:Saturn\\_hexagonal\\_north\\_pole\\_feature.jpg](http://en.wikipedia.org/wiki/File:Saturn_hexagonal_north_pole_feature.jpg), и низа -

южного полюса Saturn <http://www.jpl.nasa.gov/news/news.cfm?release=2006-137> ,  
соответственно.

Гравитационный центр удерживает все, что находится на поверхности планеты или звезды.

Причинами разгерметизации Земли могут быть:

- сверхглубокое бурение,
- разработка полезных ископаемых,
- испытание и применение атомного, плазменного оружия,
- добыча нефти и газа,
- эксплуатация так называемых «адронных коллайдеров», результатами деятельности которых могут быть катастрофические последствия для Земли.

Более того, «создатели» этих монстров вообще не понимают для чего они создают этих «кентавров».

Результаты испытаний «большого адронного коллайдера» это подтверждают, а именно: появляются какие-то непонятные эффекты, которых не ждали вообще.

Конечно, эти «новые эффекты» будут преподноситься как сверхоткрытия в физике, которые как всегда не поймут сами «создатели» коллайдера. Будет «хорошее» оправдание растрат гигантских средств на его создание и «кормление» сотен «типовых» наштампованных посредственных «ученых».

В результате разгерметизации планеты незакрепленные и плохозакрепленные предметы, находящиеся под -, на – и над поверхностью планеты, выдергиваются или отрываются и перемещаются в открытое космическое пространство и постепенно «прилипают» в уже другом физическом состоянии к другому гравитационному центру.

Этими предметами являются весь животный и растительный мир, искусственные и природные сооружения, вода, атмосфера и т.п.

Эти катастрофические события случились с планетами:

- Фаэтон - развалилась и постепенно превратилась в пояс Койпера,
- Марс – из атмосферы, первоначально состоящей из шести элементов-торов потока Куэртэ-Шихирина, как на Земле, осталось два тора летом и один зимой.

И дополняют всю эту нерадостную картину обнаруженные в 1958 году, но уже существовавшие до этого события, «Озоновые дыры» над полюсами Земли, которые являются следствием выхолащивания и оскудевания атмосферы Земли.

Причинами этих событий является человеческая деятельность, в первую очередь, добыча и использование углеводородной энергетики.

Уже намечается плавный переход с использования углеводородов на выделение энергии путем расщепления воды.

Способов расщепления придумано очень много, но суть осталась старая – «углеводородная», только с более страшными перспективами, а именно:

- воды много, как когда-то говорили о газе и нефти,
- нефть с газом не ели, не пили, а воду .....,

- нефть, газ и вода – это естественные клапаны герметизации додекаэдрной планеты Земля [14],
- в первую очередь будут перерабатывать пресную воду – она дешевле, ее проще перегонять на водорасщепляющие заводы по уже сделанным нефтегазовым трубам.

Поэтому сейчас скупаются под прикрытием сохранения «питьевой воды» все большие источники пресной воды на планете в близости от нефте-газопроводов, строятся «вспомогательные» ветки, и т.п.

Результат один – мучительная смерть 99% населения Земли от голода, недостатка воды, удушья, борьбы за воду и зоны, где пока еще «работают» оставшиеся в атмосфере Земли потоки Куэттэ-Шихирина, а остальное пространство умирающей атмосферы займут гигантские озоновые дыры, простирающиеся от северного и южного полюсов до 30<sup>0</sup> южной и северной широты.

Поэтому люди, независимо от стран и религий, будут стремительно эмигрировать с севера и юга в эти зоны, и сталкиваться в смертельной схватке между собой в борьбе за воздушные и водные ресурсы.

Один процент Человечества, так называемая «элита Планеты», настроившая бункеров для своего спасения, мучительно погибнет после исчерпания запасенных ими энергетических и пищевых запасов, так как новые запасы будет уже неоткуда пополнить.

То есть произойдут следующие естественные природные процессы:

- выхолащивание водных ресурсов, а значит и атмосферы, которая составляет единое целое с водными ресурсами,
- вместо шести воздушно-водных торов потока Куэттэ-Шихирина – атмосферы Земли, останется 5, 4, 3 и, как на Марсе – два тора летом и один зимой [6].

Я уверен, что:

- разрушение атмосферы Земли – это естественный результат деятельности Человека, то есть неправильное использование природных ресурсов планеты для своего выживания.  
Подобное событие произойдет на Земле в недалеком будущем, если сейчас не предпринимать активные противодействия (если уже не поздно) умной (небольшой) частью Человечества, к которой нескромно причисляет себя автор.
- задача Человечества заключается в том, чтобы растянуть процесс деструктуризации атмосферы во времени и дать Человечеству подготовиться к эмиграции на другую планету, как это сделали когда-то наши предки,
- наши предки, которые эмигрировали из другой галактики на планету Фазтон, затем сотворили его разрушение, но вовремя поняли свое «преступление», создали транспортные средства на вихревой энергии (летающие тарелки НЛО) и эмигрировали на Марс.
- Затем разрушили его (Марса) атмосферу, опять вовремя поняв содеянное, создали «летающие тарелки» и эмигрировали на Землю (например, племя Майя, и т.п.).

- Нам остается только повторить эти эмиграционные процессы, только уже в другую солнечную систему нашей или другой галактики, поскольку последняя планета в нашей солнечной системе Венера, которая не пригодна для жизни.
- Эти проблемы решала до нас та цивилизация, которая эмигрировала из другой галактики на планету Фэтон – сверхсложная задача для нас.

### Выводы

Заканчиваю эту статью нетрадиционно, а именно: выдержкой из начала статьи [24] - *«Материя можно сказать беспощадна. Она не остановится (энергия и информация структуризации и взаимодействия, прим. автора) в своем движении даже тогда, когда станет вопрос о существовании форм наивысшего развития – Человечества..».*

*«Гармония Природы только для нее (энергия и информация структуризации и взаимодействия, прим. автора).*

*Все эти соображения говорят о том, что само Человечество должно думать о себе (энергия и информация структуризации и взаимодействия, прим. автора), что Природа его знать не хочет и судьбы человеческие зависят только от самого Человечества (энергия и информация структуризации и взаимодействия, прим. автора)».*

Для спасения «Семя Человечества» (К.Э. Циолковский) необходим план действий, который частично описан в [14], как цели и задачи создающегося в настоящее время «Фонда вынужденной глобальной космической эмиграции».

Циолковский думал, что именно ракета спасет «семя Человечества».

Но он не знал, что на «углеводородной» ракете далеко не улетишь. Сегодня это уже ясно – ракетная техника и ее «сестра» атомные технологии, выработали себя полностью.

Основами совершенной природной энергетики, транспортных средств, в том числе для межгалактических (не полетов внутри Солнечной системы!) перелетов, являются торовые технологии и эластичная механика.

### Литература

1. Рукавные и торовые преобразователи. Возможность и целесообразность их применения в машинах и устройствах широкого назначения. Цикл статей под общей редакцией Шихирин В.Н., Коробова А.И. ВИМИ, Москва 1995, с. 1-84. [www.alt-tech.org](http://www.alt-tech.org), [www.evgars.com](http://www.evgars.com).
2. Working Models, “Single-Component Toroids” (Part One), “Multy-Component Toroids” (Part Two), 2008, <http://youtube.com/user/elastoneering>
3. Шихирин В.Н. Торовые технологии – основа эластичной механики. Статья из сборника материалов 1-й Международной научно-практической конференции «Торовые технологии», 30 июня – 2 июля 2004 года, Иркутский Государственный технический университет, с. 22-48 [www.alt-tech.org](http://www.alt-tech.org), [www.evgars.com](http://www.evgars.com).
4. Шихирин В.Н. Тороидальные движители транспортных средств. Статья из сборника материалов 2-й Международной научно-практической конференции «Торовые технологии», 21 – 24 сентября 2005 года, Иркутский Государственный технический университет, с. 79-99 [www.alt-tech.org](http://www.alt-tech.org), [www.evgars.com](http://www.evgars.com).

5. Шихирин В.Н., Ионова В.Ф., Шальнев О.В., Котляренко В.И. Эластичные механизмы и конструкции. Монография. Издательство Государственного Технического Университета, 2006, 286 с. [www.alt-tech.org](http://www.alt-tech.org), [www.evgars.com](http://www.evgars.com).
6. Шихирин В.Н. Синергетика атмосферы и смерча как природных самоподдерживающихся торových механизмов. Статья из сборника материалов 5-й Международной научно-практической конференции «Торových технологии», 23, 24 октября 2008 года, Иркутский Государственный технический университет, с. 54-87, [www.alt-tech.org](http://www.alt-tech.org), [www.evgars.com](http://www.evgars.com)
7. Шихирин В.Н. Природные «Начала» Информации и Энергии – основа приборостроения XXI века. *Информация и Энергия структуризации*. Статья из материалов 4-й научно-технической конференции «Приборостроение в XXI Веке. Интеграция науки, образования и производства. Май 2007 года, Ижевский Государственный Технический Университет, [www.evgars.com](http://www.evgars.com), [www.alt-tech.org](http://www.alt-tech.org).
8. Шихирин В.Н. Природные «Начала» Информации и Энергии – основа приборостроения XXI века. **Природная и приборная реализация**. Статья из материалов 4-й научно-технической конференции «Приборостроение в XXI Веке. Интеграция науки, образования и производства. Май 2007 года, Ижевский Государственный Технический Университет, [www.evgars.com](http://www.evgars.com), [www.alt-tech.org](http://www.alt-tech.org).
9. Шихирин В.Н. Перспективы развития торových технологий, эластичной механики и «чудеса», сотворяемые ими в Природе. Статья из сборника материалов 2-й Международной научно-практической конференции «Торových технологии», 21 – 24 сентября 2005 года, Иркутский Государственный технический университет, с. 3-41, [www.alt-tech.org](http://www.alt-tech.org), [www.evgars.com](http://www.evgars.com).
10. Шихирин В.Н. VTortex<sup>TM</sup> – высшая форма структуризации текучей среды в Природе. Статья из сборника материалов 3-й Международной научно-практической конференции «Торových технологии», 23 - 24 ноября 2006 года, Иркутский Государственный технический университет, с. 158-179, [www.alt-tech.org](http://www.alt-tech.org), [www.evgars.com](http://www.evgars.com).
11. Шихирин В.Н. VTortex-Галактика, как структуризатор звездных систем, времени (календарей) и причина изменения климата на Земле. Статья из сборника материалов 3-й Международной научно-практической конференции «Торových технологии», 23-24 ноября 2006 года, Иркутский Государственный технический университет, с. 143-158, [www.alt-tech.org](http://www.alt-tech.org), [www.evgars.com](http://www.evgars.com).
12. Шихирин В.Н. Тор и сфера – «родители» Pi, Phi и числа «7», как «начал» структуризации материи в Природе. Статья из сборника материалов 3-й Международной научно-практической конференции «Торových технологии», 23 - 24 ноября 2006 года, Иркутский Государственный технический университет, с. 131-143, [www.alt-tech.org](http://www.alt-tech.org), [www.evgars.com](http://www.evgars.com).
13. Шихирин В.Н. Создание совершенных архитектурных и строительных технологий (на примере торových технологий) для выживания Человечества в условиях похолодания климата на Земле. Статья из материалов 4-й международной научно-практической конференции «Торových технологии», 24 октября 2007 года, Иркутский Государственный Технический Университет, с. 28-49, [www.alt-tech.org](http://www.alt-tech.org), [www.evgars.com](http://www.evgars.com).
14. Шихирин В.Н. Создание источников совершенной энергии для выживания Человечества в условиях глобального изменения климата на Земле – космической



фазой его похолодания. Статья из материалов 4-й международной научно-практической конференции «Торовые технологии», 24 октября 2007 года, Иркутский Государственный Технический Университет, с. 3-28, [www.alt-tech.org](http://www.alt-tech.org), [www.evgars.com](http://www.evgars.com).

15. А.Е. Акимов и другие. Дальнодействующие спинорные (*торсионные*, прим. автора) поля. Физические модели. Препринт № 4, Академия наук Украинской ССР ордена Трудового Красного Знамени. Институт проблем материаловедения им. И.Н.Францевича, Киев, ИПМ. 1989 год, [www.alt-tech.org](http://www.alt-tech.org)

16. Соколова В.А. Первое экспериментальное подтверждение существования торсионных полей и их использования в народном хозяйстве. – Москва, Триада плюс, 2005, -52 с. (Феномены XXI века), [www.alt-tech.org](http://www.alt-tech.org).

17. James Ober, Andrew Kraynik. Aqueous Foams, Scientific American, May 1986, Vol. 254, No. 5, Джэймс Г. Обер, Эндрю М. Крейник, Питер Б. Рэнд. Водные пены. В мире науки, 1986, № 7.

18. Перепелкин К. Е., Матвеев В.С. Газовые эмульсии. Л.. 1979.

19. Тихомиров В.К., Пены. Теория и практика их получения и разрушения, изд.. М. 1983.

20. Меркни А.П., Таубе П.Р. Непрочное чудо. М.. 1983.

21. Кругляков П. М, Ексерова Д Р. Пены и пенные пленки. М . 1990.

22. А.Д.Зимон. Занимательная коллоидная химия. Своеобразный мир частиц. Москва, РАДЭЖОН, 2000

23. Robert M. Haberle The Climate of Mars. Science American, 1986, Vol. 254, # 5, p.54-62.

24. А.Л. Чижевский. На берегу Вселенной. Годы дружбы с Циолковским. Воспоминания. Москва, «Мысль», 1995

25. Шихирин В.Н. Исследование возможности применения математических методов для распределения прессформ в цехе литья по выплавляемым моделям Ижевского механического завода. Дипломный проект. Ижевский механический институт, 1971